

СЕРИЯ 1.034.1-1/90

СБОРНЫЕ ЖЕЛЕЗОБЕТОННЫЕ ВЕНТИЛЯЦИОННЫЕ БЛОКИ
ДЛЯ МНОГОЭТАЖНЫХ ОБЩЕСТВЕННЫХ ЗДАНИЙ,
ПРОИЗВОДСТВЕННЫХ И ВСПОМОГАТЕЛЬНЫХ ЗДАНИЙ,
ПРОМЫШЛЕННЫХ ПРЕДПРИЯТИЙ

ВЫПУСК 0-1

УКАЗАНИЯ ПО РАСЧЕТУ
ДИАФРАГМ СВЯЗЕВОГО КАРКАСА С ПРИМЕНЕНИЕМ
ВЕНТИЛЯЦИОННЫХ БЛОКОВ-ДИАФРАГМ ЖЕСТКОСТИ

КНИГА 1
СТР 1-48

НАЧАЛО

24451

ЦЕНА 8-66

ЦЕНТРАЛЬНЫЙ ИНСТИТУТ ТИПОВОГО ПРОЕКТИРОВАНИЯ
ГОССТРОЯ СССР

Москва, А-445 Смольная ул 22

Сдано в печать $\overline{\text{XII}}$ 1990 года

Заказ № 9756 Тираж 4080 экз

ТИПОВЫЕ СТРОИТЕЛЬНЫЕ КОНСТРУКЦИИ, ИЗДЕЛИЯ И УЗЛЫ

СЕРИЯ 1.034.1-1/90

СБОРНЫЕ ЖЕЛЕЗОБЕТОННЫЕ ВЕНТИЛЯЦИОННЫЕ БЛОКИ
ДЛЯ МНОГОЭТАЖНЫХ ОБЩЕСТВЕННЫХ ЗДАНИЙ,
ПРОИЗВОДСТВЕННЫХ И ВСПОМОГАТЕЛЬНЫХ ЗДАНИЙ,
ПРОМЫШЛЕННЫХ ПРЕДПРИЯТИЙ

ВЫПУСК 0-1

УКАЗАНИЯ ПО РАСЧЕТУ
ДИАФРАГМ СВЯЗЕВОГО КАРКАСА С ПРИМЕНЕНИЕМ
ВЕНТИЛЯЦИОННЫХ БЛОКОВ-ДИАФРАГМ ЖЕСТКОСТИ

РАЗРАБОТАНЫ:

ЦНИИЭП учебных зданий

Главный инженер института *М.А. Дьякович* А. К. Дьяковичначальник отд. констр. *Э.А. Шахова* Э. А. ШаховаГлавный инженер отдела *Б.Н. Петров* Б. Н. Петров

НИИЖБ Госстроя СССР

Зам. директора института *И.И. Мамедов*Зав. лабораторией
теории железобетона *Ю.П. Гуда*Гл. научн. сотрудник *С.М. Крылов*

УТВЕРЖДЕНЫ

Госстроем СССР,
протокол от 24.04.90г № А4-8
Введены в действие с 01.10.90г;
ЦНИИЭП учебных зданий
Приказ от 22.05.90г № 23.

Обозначение	Наименование	Стр.
	Раздел I. Методика расчета прочности, устойчивости и деформативности зданий	3
I.034.I-I/90.0-I-I.1Д	Общие указания	3
I.034.I-I/90.0-I-I.2Д	Вертикальные и горизонтальные нагрузки	5
I.034.I-I/90.0-I-I.3Д	Жесткостные характеристики сечений отдельных диафрагм	8
I.034.I-I/90.0-I-I.4Д	Жесткостные характеристики горизонтального сечения блока здания	13
I.034.I-I/90.0-I-I.5Д	Жесткостные характеристики фундаментов отдельной диафрагмы и всех диафрагм блока здания	14
I.034.I-I/90.0-I-I.6Д	Усилия, возникающие в блоке здания под действием вертикальных и горизонтальных нагрузок	15
I.034.I-I/90.0-I-I.7Д	Усилия от горизонтальных и вертикальных нагрузок, передающиеся на отдельные диафрагмы	19
I.034.I-I/90.0-I-I.8Д	Проверка прочности отдельных диафрагм	22
I.034.I-I/90.0-I-I.9Д	Оценка деформативности блока здания при горизонтальных и вертикальных воздействиях	28
I.034.I-I/90.0-I-I.10Д	Учет температурно-климатических воздействий	33
	Раздел 2. Таблицы жесткостных характеристик сборных железобетонных элементов диафрагм	35
I.034.I-I/90.0-I-2.1Д	Приведенные жесткости сечения вентиляционных блоков-диафрагм жесткости	35

1.034.1-1/90.0-1

ИМ. ОТА	ШАХОВА	<i>Шахова</i>
И.ИМ. ОТА	ПЕТРОВ	<i>Петров</i>
БЕД. ИМ.	ЖЕРАЕВА	<i>Жераева</i>
ИМ. ШКАТ.	ДЕСЯТОВА	<i>Десятова</i>

Содержание

СТАДИЯ	АНСТ	АНСТОВ
Р	1	2
ЦНИИЭП УЧЕБНЫХ ЗАДАНИЙ		

Обозначение	Наименование	Стр.
I.034.I-I/90.0-I-2.2Д	Приведенные жесткости сечения диафрагм жесткости	38
I.034.I-I/90.0-I-2.3Д	Приведенные жесткости сечения колонн 30 х30	42
I.034.I-I/90.0-I-2.4Д	Приведенные жесткости сечения колонн 40 х40	49
	Раздел 3. Пример расчета блока здания с диафрагмами	72
I.035.I-I/90.0-I-3.1Д	Исходные данные	72
I.034.I-I/90.0-I-3.2Д	Определение горизонтальных нагрузок, действующих на блок здания	74
I.034.I-I/90.0-I-3.3Д	Вычисление приведенных жесткостных характеристик сечений отдельных диафрагм	74
I.034.I-I/90.0-I-3.4Д	Вычисление жесткостных характеристик горизонтального сечения блока здания	86
I.034.I-I/90.0-I-3.5Д	Вычисление жесткостных характеристик фундаментов	89
I.034.I-I/90.0-I-3.6Д	Определение усилий, возникающих в блоке здания под действием вертикальных и горизонтальных нагрузок	91
I.034.I-I/90.0-I-3.7Д	Определение усилий от горизонтальных и вертикальных нагрузок, передающихся на отдельные диафрагмы	96
I.034.I-I/90.0-I-3.8Д	Проверка прочности отдельных диафрагм жесткости	102
I.034.I-I/90.0-I-3.9Д	Оценка деформативности блока здания при горизонтальных и вертикальных воздействиях	105
I.034.I-I/90.0-I-3.10Д	Учет температурно-климатических воздействий	112

ИНВ. № ПОДА. ПОДАТЬСЯ И ДАТА. ВЪЗМ. ИНВ. №

1.034.1-1/90.0-1

АНСТ
2

"Расчет многоэтажных зданий со связевым каркасом", М., Стройиздат, 1977 г.);

- деформаций (горизонтальных перемещений) отдельных точек блока здания относительно главных центральных осей инерции его сечения с помощью формул, учитывающих геометрическую нелинейность деформаций блока здания (без определения эмпирических коэффициентов продольного изгиба).

1.2. Месторасположение отдельных диафрагм в плане блока здания назначается в увязке с его общим объемно-планировочным решением. При этом учитывается, что наиболее эффективным является размещение диафрагм в наружных углах здания. Выбранное конструктивное решение блока здания необходимо проверить расчетом на прочность, устойчивость и деформативность.

В соответствии с рекомендуемым порядком расчета последовательно определяются:

- горизонтальные и вертикальные нагрузки на блок здания;
- путем подбора по таблицам (см. п.1.3 настоящих указаний) жесткостные характеристики отдельных сборных железобетонных элементов, из которых составлена диафрагма, методику их определения см.п.3.1 настоящих указаний. Затем определяются приведенные жесткостные характеристики отдельных диафрагм, а потом и всего рассматриваемого блока здания;
- центр жесткостей и центр изгиба блока здания;
- жесткостные характеристики отдельных фундаментов под диафрагмы, а затем и блока здания;
- суммарные усилия (изгибающие моменты), действующие в плоскостях, проходящих через главные центральные оси инерции сечения блока здания, а также усилия, вызывающие его закручивание;
- в каждой диафрагме с помощью распределительных коэффициентов изгибающие моменты, действующие в двух взаимно перпендикулярных плоскостях;

1.034.1-1/90.0-1-1.1А

Лист
3

ФОРМАТ А4

- проверяется прочность каждой диафрагмы на косое внецентренное сжатие (сравниваются максимальные расчетные усилия с несущей способностью диафрагмы);

- поступательные перемещения центра жесткостей в вершине блока здания относительно главных центральных осей инерции его сечения и перемещения, вызванные закручиванием блока здания вокруг центра изгиба, от горизонтальных и вертикальных нагрузок с учетом геометрической нелинейности;

- поступательные перемещения вершины блока здания и перемещения, вызванные закручиванием блока здания, обусловленные податливостью оснований под фундаментами диафрагм;

- суммарные перемещения любой точки вершины блока здания в плане. Последние сравниваются с величинами предельных перемещений, допускаемых нормативными документами (см. табл.22 СНиП 2.01.07-85. Дополнения. Стр.5).

В случае, если какая-либо из диафрагм не обеспечивает прочности, требуемой по расчету, или суммарные перемещения какой-либо точки, расположенной на вершине блока здания в плане, превышают предельно допустимые по нормам, производится перекомпоновка диафрагм путем изменения конструктивной и расчетной схемы блока здания с целью повышения прочности диафрагм или жесткости блока здания. После этого расчет повторяется заново.

1.3. На документах 1.034.1-1/90.0-1-2.1Д...1.034.1-1/90.0-1-2.4Д настоящего выпуска в табличной форме представлены жесткостные характеристики (приведенные жесткости на изгиб и сжатие) колонн сечением 300х300мм серии 1.020-1/83, колонн сечением 400х400мм серии 1.020-1/87, вентиляционных блоков-диафрагм жесткости серии 1.034.1-1/90, вып.1 и 2 и диафрагмы жесткости серии 1.020-1/87, вып.4-1. Центробежные моменты перечисленных сборных железобетонных элементов равны "нулю", поэтому они не включены в таблицы.

1.034.1-1/90.0-1-1.1А

Лист
4

ФОРМАТ А4

ФОРМАТ А4

ИВ. № ПОДАМ. ПОДПИСЬ К ДАТА ПОДАМ. ИВ. №

Жесткостные характеристики, представленные в таблицах, для одного и того же сборного элемента имеют несколько цифровых значений в зависимости от условий их изготовления (бетон, подвергнутый тепловой обработке, или естественного твердения), условий их эксплуатации (длительность действия нагрузки при различных значениях относительной влажности воздуха внутри помещения), а также количества продольной арматуры в сечении.

1.4. Рекомендации по выбору расчетных моделей каркаса здания.

1.4.1. Для зданий с диафрагмами (независимо от количества этажей в них) принимается дискретно-континуальная модель каркаса с абсолютно жесткими связями сдвига между сборными элементами диафрагмы, в которых податливость узлов сопряжения оценивается путем введения понижающих коэффициентов условий работы.

1.4.2. Для малоэтажных (до 3-х этажей включительно) зданий без диафрагм принимается расчетная модель в виде стержневой (или пластинчато-стержневой) системы, рассчитываемой методом "конечных элементов" по деформированной схеме с учетом пространственного деформирования каркаса, физической и геометрической нелинейностей, упругого поворота подошвы фундамента, обусловленного податливостью основания.

Для расчета по указанной модели имеется программа для ЭВМ "Фибра", разработанная институтом.

1.5. Данная методика расчета разработана с учетом следующих нормативных документов:

- СНиП 2.01.07-85. Нагрузки и воздействия;
- СНиП 2.01.07-85. Нагрузки и воздействия (Дополнения. Разд.10. Прогноз и перемещения);
- СНиП 2.03.01-84. Бетонные и железобетонные конструкции;
- СНиП 2.02.01-83. Основания зданий и сооружений;
- СНиП П-22-81** Каменные и армокаменные конструкции;
- Пособие по расчету статически неопределимых железобетонных конструкций, НИИЖБ, М., Стройиздат, 1990.

ИНВ. № ПОДА. ПОДПИСЬ И ДАТА

1.034.1-1.90.0-1-1.1Д

Лист 5

2. ВЕРТИКАЛЬНЫЕ И ГОРИЗОНТАЛЬНЫЕ НАГРУЗКИ

2.1. Рекомендации по определению вертикальных нагрузок.

При определении вертикальных воздействий, передающихся на диафрагмы, учитываются постоянные и временные нагрузки в соответствии со СНиП 2.01.07-85. "Нагрузки и воздействия. Нормы проектирования".

Расчетные значения равномерно распределенных временных нагрузок на перекрытия допускается снижать в соответствии с п.3.8 СНиП 2.01.07-85.

При определении вертикальных нагрузок на диафрагмы рекомендуется рассматривать следующие сочетания нагрузок:

- вариант максимального нагружения, состоящий из постоянных, длительных и кратковременных нагрузок, принимаемых с коэффициентами надежности по нагрузке $\gamma_f > 1$. Расчетные значения нагрузки следует умножать на коэффициенты сочетаний: $\psi_1 = 0,95$ - для длительных нагрузок; $\psi_2 = 0,9$ - для кратковременных нагрузок.

- вариант нагружения длительно действующими нагрузками, состоящий из постоянных и длительных нагрузок с коэффициентом надежности по нагрузке $\gamma_f = 1$;

- вариант минимального нагружения, состоящий из постоянной нагрузки, умноженной на $\gamma_f = 0,9$ и вертикальной (растягивающей) составляющей от ветровой нагрузки, умноженной на $\gamma_f = 1,4$ и $\psi_2 = 1,0$.

ИНВ. № ПОДА. ПОДПИСЬ И ДАТА

1.034.1 - 1/90 0-1-1.2Д

НАЧ. ОТА ШАКОВА
ГЛАВ. ИНЖ. ПЕТРОВ
ВЕД. ИНЖ. ЖЕДЗЕВА
ИНЖ. ШКАТ. ДЕСЯТОВА

Вертикальные и горизонтальные нагрузки

Стадия	Лист	Листов
Р	1	4
ЦНИИЭП УЧЕБНЫХ ЗДАНИЙ		

2.2. Рекомендации по определению горизонтальных нагрузок.

При определении горизонтальных воздействий, передающихся на диафрагмы в зданиях высотой до 40,0 м, учитывается расчетная средняя составляющая ветровой нагрузки. При высоте зданий более 40,0 м в соответствии с п.п.6.2 и 6.7 СНиП 2.01.07-85 необходимо учитывать пульсационную составляющую ветровой нагрузки, создающую в основных несущих конструкциях здания дополнительные усилия - поперечные силы Q^0 и изгибающие моменты M^0 .

Расчетное значение средней составляющей ветровой нагрузки на основные несущие конструкции здания определяется в соответствии с п.6.I; 6.3; 6.5; 6.6; 6.II СНиП 2.01.07-85.

2.3. В таблице I настоящих указаний приведены интенсивности расчетного ветрового давления q_i в зданиях высотой до 40 м включительно, приложенные на различной высоте с интервалом через 2 м для I-го ветрового района СССР (типы местности "А", "В" и "С") и создающие горизонтальные нагрузки, приходящиеся на I п.м горизонтального сечения блока здания. Промежуточные значения интенсивностей принимаются по интерполяции.

Интенсивности q_i подсчитаны из расчета, что суммарный (напор + отсос) аэродинамический коэффициент $C_e = 1,4$ и коэффициент надежности $\gamma_f = 1,4$. Например, расчетная средняя составляющая интенсивности горизонтальной нагрузки от ветра на I п.м горизонтального сечения блока здания на высоте от уровня земли 10,0 м для типа местности "А" составляет:

$$q_i = \gamma_f \cdot K \cdot C_e \cdot W_0 = 1,4 \cdot 1,0 \cdot 1,4 \cdot 23 = 45,08 \frac{\text{кгс}}{\text{п.м}} = 0,04508 \frac{\text{тс}}{\text{п.м}}$$

Для ветровых районов СССР Ia, II значения интенсивности q_i , указанные в таблице I, следует умножать на коэффициенты, приведенные к первому району $K_1 = \frac{W_0^i}{W_0^I}$,

где

W_0^I - нормативное значение ветрового давления для I-го ветрового района СССР, равное $23 \frac{\text{кгс}}{\text{м}^2}$;

W_0^i - нормативное значение ветрового давления для искомого ветрового района, принимаемое по табл.5 СНиП 2.01.07-85.

Например, для IV ветрового района СССР $W_0^i = 48 \frac{\text{кгс}}{\text{м}^2}$.

Следовательно, $K_1 = \frac{48,0}{23,0} = 2,087$.

На рис. I "а" и "б" показаны интенсивности расчетного ветрового давления q_1, \dots, q_n , определенные для I-го ветрового района СССР (типы местности соответственно "А" и "В") для здания высотой 40 м.

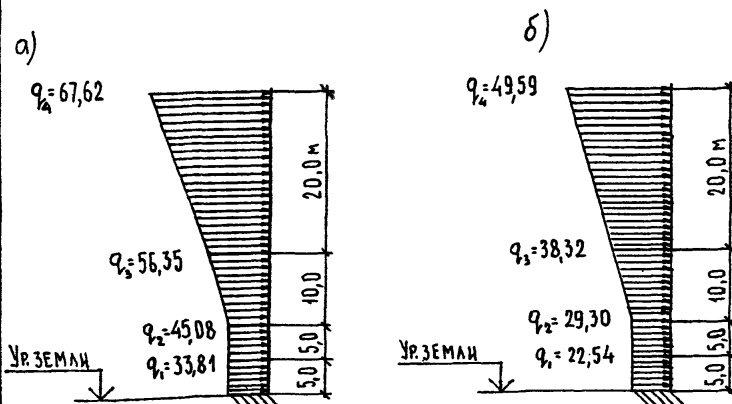


Рис. I. Интенсивности расчетного ветрового давления в кгс/м² на I п.м горизонтального сечения здания высотой 40 м а - тип местности "А"; б - тип местности "В".

Интенсивность расчетного ветрового давления q_v на различной высоте, расчетные поперечные силы Q^0 и изгибающие моменты M^0 , приложенные на уровне земли, для I-го ветрового района СССР по давлению ветра, приходящиеся на I пог.м горизонтального сечения блока здания.

Таблица I.

Высота здания в м	Тип местности А			Тип местности В			Тип местности С		
	$q_v, \frac{т \cdot с}{п.м.}$	$Q^0, \frac{т \cdot с}{п.м.}$	$M^0, \frac{т \cdot с \cdot м}{п.м.}$	$q_v, \frac{т \cdot с}{п.м.}$	$Q^0, \frac{т \cdot с}{п.м.}$	$M^0, \frac{т \cdot с \cdot м}{п.м.}$	$q_v, \frac{т \cdot с}{п.м.}$	$Q^0, \frac{т \cdot с}{п.м.}$	$M^0, \frac{т \cdot с \cdot м}{п.м.}$
2	0,0338I	0,0676	0,0676	0,02254	0,045I	0,045I	0,0I803	0,036I	0,03606
4	0,0338I	0,1352	0,2705	0,02254	0,0902	0,18032	0,0I803	0,072I3	0,14426
6	0,03606	0,2040	0,6I48	0,02389	0,1359	0,4096	0,0I803	0,1082	0,3244
8	0,04057	0,2807	I,153	0,02660	0,1864	0,7639	0,0I803	0,1443	0,577
10	0,04508	0,3663	I,925I	0,02930	0,2423	I,2679	0,0I803	0,1804	0,9018
12	0,04733	0,4587	2,94I6	0,0311I	0,3027	I,9329	0,0I938	0,2I78	I,3I37
14	0,04959	0,5556	4,2027	0,0329I	0,3667	2,7656	0,02073	0,2579	I,8355
16	0,05184	0,657I	5,7256	0,0347I	0,4343	3,7802	0,02208	0,3008	2,509I
18	0,05410	0,7630	7,527I	0,03652	0,5056	4,9925	0,02344	0,3463	3,2532
20	0,05635	0,8735	9,6268	0,03832	0,5804	6,4I46	0,02479	0,3945	4,1698
22	0,05748	0,9873	12,0I7	0,03945	0,6582	8,0469	0,02592	0,4452	5,2349
24	0,05860	I,1034	I4,6876	0,04057	0,7382	9,8892	0,02704	0,4982	6,454
26	0,05973	I,22I7	I7,6457	0,04170	0,8205	11,946	0,02818	0,5534	7,8346
28	0,06086	I,3423	20,9022	0,04283	0,9050	14,229	0,02930	0,6109	9,3872
30	0,06199	I,4653	24,4673	0,04395	0,9918	16,7463	0,03043	0,6706	11,1192
32	0,0631I	I,5903	28,3445	0,04508	I,0808	19,506I	0,03156	0,7326	13,0416
34	0,06424	I,7176	32,5466	0,0462I	I,172I	22,5195	0,03268	0,7967	15,1596
36	0,06537	I,8473	37,0853	0,04733	I,2656	25,7925	0,0338I	0,8633	17,4885
38	0,06649	I,979I	41,96	0,04846	I,3614	29,3375	0,03494	0,932I	20,0339
40	0,06762	2,1132	47,1935	0,04959	I,4595	33,4993	0,03606	I,0030	22,8004

3. ЖЕСТКОСТНЫЕ ХАРАКТЕРИСТИКИ СЕЧЕНИЙ ОТДЕЛЬНЫХ ДИАФРАГМ

3.1. Основными параметрами несущей способности блока здания являются приведенные (к бетону) жесткостные характеристики сечений отдельных диафрагм.

Для определения приведенных жесткостных характеристик сечений отдельных диафрагм должны быть последовательно выполнены следующие операции:

- подобраны по таблицам в соответствии с п.1.3 настоящих указаний приведенные жесткостные характеристики сечений отдельных типовых сборных железобетонных элементов. В случае, если в состав диафрагмы включена нетиповая сборная или монолитная конструкция, то приведенные жесткостные характеристики их сечений должны быть вычислены в соответствии с п.3.2 настоящих указаний;
- определен центр тяжести сечения отдельной диафрагмы;
- вычислены приведенные жесткостные характеристики сечений отдельной диафрагмы в предположении абсолютно жесткого соединения между составляющими ее сборными элементами;
- определены приведенные жесткостные характеристики сечений отдельной диафрагмы с учетом понижающего коэффициента условий работы, характеризующего податливость соединений между сборными элементами.

3.2. Приведенные жесткостные характеристики сечений отдельных нетиповых сборных или монолитных железобетонных элементов, не включенных в состав таблиц (см. п.1.3), определяется по следующим формулам:

$$B_{xj}^{0,red} = \frac{0,85 E_b \cdot J_x^{red}}{C_b}; \quad (3.1)$$

$$B_{yj}^{0,red} = \frac{0,85 E_b \cdot J_y^{red}}{C_b}; \quad (3.2)$$

$$B_{xyj}^{0,red} = \frac{0,85 E_b \cdot J_{xy}^{red}}{C_b}; \quad (3.3)$$

$$A_j^{0,red} = \frac{0,85 E_b \cdot F^{red}}{C_b} \quad (3.4), \quad \text{ГДЕ}$$

$B_{xj}^{0,red}$ - приведенная жесткость на изгиб отдельного сборного элемента относительно оси X, проходящей через центр тяжести его сечения;

$B_{yj}^{0,red}$ - то же, относительно оси Y;

$B_{xyj}^{0,red}$ - приведенная центробежная жесткость отдельного сборного элемента относительно координатной точки пересечения осей X и Y, совпадающей с центром тяжести сечения этого элемента. Для сечений, имеющих две оси симметрии, $B_{xyj}^{0,red} = 0$;

$A_j^{0,red}$ - приведенная жесткость на сжатие отдельного сборного элемента;

E_b - начальный модуль упругости бетона;

J_x^{red} и J_y^{red} - приведенные моменты инерции сечений сборных элементов соответственно относительно осей X и Y;

J_{xy}^{red} - приведенный центробежный момент инерции сечения сборного элемента;

F^{red} - приведенная площадь сечения сборного элемента.

Значения приведенных геометрических характеристик J_x^{red} , J_y^{red} , J_{xy}^{red} и F^{red} определяются по соответствующим формулам

$$J_x^{red} = J_{bx} + d J_{sx} \cdot C_b;$$

$$J_y^{red} = J_{by} + d J_{sy} \cdot C_b;$$

$$J_{xy}^{red} = J_{bxy} + d J_{sxy} \cdot C_b;$$

$$F^{red} = F_b + d F_s \cdot C_b$$

1034 1 - 1/90.0-1-13Д

Имя Отд.	Шахова	Ежкостные характеристики сечений отдельных диафрагм ЦНИИЭП УЧЕБНЫХ ЗДАНИЙ
П.И.Имя Отд.	Петров	
БЕД ИИИ	Жердева	
Имя Шкат	Десятова	

ИНВ. № ПОДА. ЧИСТА. СЪМ. ДАТА ПОДАРИСЬ И ДАТА ИЗДАМ. ИИИ. №

1.034.1 - 1/90.0-1-13Д

где

$J_{\xi x}$ и $J_{\xi y}$ – моменты инерции бетонного сечения сборного элемента соответственно относительно осей X и Y;

$J_{\xi xy}$ – центробежный момент бетонного сечения сборного элемента;

$J_{s x}$ и $J_{s y}$ – моменты инерции сечения арматурных стержней сборного элемента соответственно относительно осей X и Y;

$J_{s xy}$ – центробежный момент инерции сечения арматурных стержней сборного элемента;

F_b – площадь бетонного сечения сборного элемента;

F_s – площадь сечения арматурных стержней сборного элемента.

Для сборных элементов, имеющих две оси симметрии, $J_{\xi xy} = J_{s xy} = 0$.

Коэффициент приведения α определяется по формуле

$$\alpha = \frac{E_s}{E_b},$$

где

E_s – модуль упругости арматуры;

E_b – начальный модуль упругости бетона при сжатии и растяжении.

Коэффициент C_b , учитывающий влияние длительной ползучести бетона на деформации сборного элемента, определяется в зависимости от времени с момента замоноличивания (замыкания) конструкции в соответствии с указаниями "Пособия по расчету статически неопределимых железобетонных конструкций", НИИЖБ, М., Стройиздат, 1990.

При отсутствии данных о моменте замоноличивания конструкции, коэффициент C_b определяется по формуле

$$C_b = 0,5 (1 + \gamma_{b2}), \quad (3.5)$$

здесь коэффициент γ_{b2} принимается в соответствии с таблицей 34 СНиП 2.03.01-84 при продолжительном действии нагрузки в зависимости от процента средней относительной влажности воздуха окружающей среды:

а) при 40% и выше $\gamma_{b2} = 2,0$;

б) ниже 40% $\gamma_{b2} = 3,0$.

Таким образом, формулы (3.1), (3.2), (3.3) и (3.4) примут вид:

- при средней относительной влажности воздуха окружающей среды

ниже 40%:

$$B_{xj}^{0,red} = 0,425 E_b J_{\xi x} + 0,85 E_s J_{s x}; \quad (3.6)$$

$$B_{yj}^{0,red} = 0,425 E_b J_{\xi y} + 0,85 E_s J_{s y}; \quad (3.7)$$

$$B_{xyj}^{0,red} = 0,425 E_b J_{\xi xy} + 0,85 E_s J_{s xy}; \quad (3.8)$$

$$A_j^{0,red} = 0,425 E_b F_b + 0,85 E_s F_s; \quad (3.9)$$

- при средней относительной влажности воздуха окружающей среды

40% и выше:

$$B_{xj}^{0,red} = 0,566 E_b J_{\xi x} + 0,85 E_s J_{s x}; \quad (3.10)$$

$$B_{yj}^{0,red} = 0,566 E_b J_{\xi y} + 0,85 E_s J_{s y}; \quad (3.11)$$

$$B_{xyj}^{0,red} = 0,566 E_b J_{\xi xy} + 0,85 E_s J_{s xy}; \quad (3.12)$$

$$A_j^{0,red} = 0,566 E_b F_b + 0,85 E_s F_s; \quad (3.13)$$

3.2. Для определения приведенных жесткостных характеристик сечений отдельных диафрагм, необходимо предварительно вычислить координаты центра тяжести сечения этих диафрагм относительно произвольной системы координат, которые определяются по формулам:

$$a_{xj} = \frac{\sum_{i=1}^m A_j^{0,red} \cdot x_j}{\sum_{i=1}^m A_j^{0,red}}; \quad (3.14)$$

$$a_{yj} = \frac{\sum_{i=1}^m A_j^{0,red} \cdot y_j}{\sum_{i=1}^m A_j^{0,red}}; \quad (3.15)$$

где

m – число отдельных сборных элементов, из которых составлена диафрагма;

x_j и y_j - координаты центра тяжести сечения отдельного сборного элемента диафрагмы относительно произвольной системы координат;
 $A_j^{0,red}$ - принимается по таблицам в соответствии с п.1.3 настоящих указаний. При использовании нетиповых элементов диафрагмы - определяются по формулам (3.9) или (3.13).

3.3. Определение приведенных жесткостных характеристик сплошных сечений отдельных диафрагм, в предположении абсолютно жесткого соединения между составляющими их сборными элементами, сводится к их вычислению по формулам:

$$B_{x_i}^{0,red} = \sum_j^{i=m} B_{x_j}^{0,red} + \sum_j^{i=m} A_j^{0,red} \cdot y_{j,i}^2; \quad (3.16)$$

$$B_{y_i}^{0,red} = \sum_j^{i=m} B_{y_j}^{0,red} + \sum_j^{i=m} A_j^{0,red} \cdot x_{j,i}^2; \quad (3.17)$$

$$B_{x_{y_i}}^{0,red} = \sum_j^{i=m} B_{x_{y_j}}^{0,red} + \sum_j^{i=m} A_j^{0,red} \cdot x_{j,i} \cdot y_{j,i}; \quad (3.18)$$

$$A_i^{0,red} = \sum_j^{i=m} A_j^{0,red} \quad (3.19)$$

где
 $B_{x_i}^{0,red}$ - приведенная жесткость на изгиб отдельной диафрагмы относительно оси X, проходящей через её центр тяжести сечения;
 $B_{y_i}^{0,red}$ - то же, относительно оси Y;
 $B_{x_{y_i}}^{0,red}$ - приведенная центробежная жесткость отдельной диафрагмы относительно координатной точки пересечения осей X и Y, совпадающей с центром тяжести сечения этой диафрагмы;
 $A_i^{0,red}$ - приведенная жесткость на сжатие отдельной диафрагмы;
 $x_{j,i}$ и $y_{j,i}$ - расстояние соответственно вдоль осей X и Y между центром тяжести диафрагмы и центрами тяжести рассматриваемых сборных элементов;
 - остальные условные обозначения - см.п.3.1.

1.034.1-1/90.0-1-1.3А

Лист
5

Схема: А2

3.4. Для сплошного сечения отдельной диафрагмы снижение её приведенных жесткостей вследствие податливости соединений учитывается с помощью эмпирических коэффициентов условий работы $\gamma_{дэф,х}$, $\gamma_{дэф,у}$ и $\gamma_{дэф}$.

Снижение приведенных жесткостей на изгиб относительно осей X и Y учитывается соответственно коэффициентами $\gamma_{дэф,х}$ и $\gamma_{дэф,у}$, для определения которых использована формула (167) "Рекомендаций по расчету каркасно-панельных общественных зданий с применением ЭВМ", ЦНИИЭП торгово-бытовых зданий, М., Стройиздат, 1986:

$$\gamma_{дэф,х} = \frac{2,6\beta_x - 1,3}{2 + 3\beta_x}, \quad (3.20a)$$

$$\gamma_{дэф,у} = \frac{2,6\beta_y - 1,3}{2 + 3\beta_y}, \quad (3.20б)$$

$$\beta_x = \frac{H}{b_x}, \quad \beta_y = \frac{H}{b_y},$$

где

H - высота здания от верха фундамента до перекрытия верхнего этажа включительно;

b_x и b_y - размер поперечного сечения диафрагмы, совпадающий с плоскостью действия изгибающего момента соответственно M_y и M_x .

Снижение приведенных жесткостей центробежной и на сжатие учитывается с помощью коэффициента $\gamma_{дэф}$, который допускается определять как полусумму $\gamma_{дэф,х}$ и $\gamma_{дэф,у}$.

3.5. Для сечений с проемами отдельной диафрагмы снижение её приведенных жесткостей вследствие податливости соединений учитывается с помощью эмпирических коэффициентов условий работы $\gamma_{дэф,х}^{проем}$, $\gamma_{дэф,у}^{проем}$ и $\gamma_{дэф}^{проем}$, для определения которых использована методика инж. Ханджи В.В., изложенная в кн. "Расчет многоэтажных зданий со связевым каркасом", М., Стройиздат, 1977.

1.034.1-1/90.0-1-1.3А

Лист
6

24451

Формат А4

Снижение приведенных жесткостей на изгиб относительно

осей X и Y учитывается соответственно коэффициентами $\gamma_{ДЕФ, X}$ и $\gamma_{ДЕФ, Y}$, определяемыми по формулам:

$$\gamma_{ДЕФ, X}^{ПРОЕМ} = K_{ш} \cdot K_{рj, X}, \quad (3.21a)$$

$$\gamma_{ДЕФ, Y}^{ПРОЕМ} = K_{ш} \cdot K_{рj, Y}, \quad (3.21б)$$

где

$K_{ш}$ - коэффициент, учитывающий податливость соединений между сборными элементами диафрагм и определяемый по формуле

$$K_{ш} = \frac{1}{1 + 0,05 m_{ш}}, \quad (3.22)$$

здесь $m_{ш}$ - количество вертикальных швов между сборными элементами, входящими в состав отдельной диафрагмы;

$K_{рj, X}$ и $K_{рj, Y}$ - коэффициенты, учитывающие влияние деформаций перемычек над проемами, вызванных действием изгибающего момента соответственно M_Y и M_X , и определяемые по формулам:

$$K_{рj, X} = \frac{I}{I + \rho_{j, X}}, \quad (3.23a)$$

$$K_{рj, Y} = \frac{I}{I + \rho_{j, Y}}, \quad (3.23б)$$

здесь $\rho_{j, X}$ и $\rho_{j, Y}$ - коэффициенты, характеризующие увеличение перемещений диафрагмы вследствие деформаций перемычек над проемами, вызванных действием изгибающего момента соответственно M_Y или M_X , и определяемые по формуле

$$\rho_{j, i} = \frac{h_2 \cdot l^2}{3 \gamma_{ДЕФ, i}^{0, red} H_1^2} \times \frac{F_1^{red} \cdot F_2^{red}}{(F_1^{red} + F_2^{red})} \times \left[1 - \frac{J_1^{0, red} + J_2^{0, red}}{J_j^{0, red}} \right], \quad (3.24)$$

где

h_2 - высота этажа;

l - ширина проема;

H_1 - высота здания с учетом подвала;

$J_{ДЕФ}^{0, red}$ - приведенный момент инерции вертикального сечения диафрагмы над проемом (перемычки), уменьшенный в 1,5 раза, в связи с возможностью образования трещин;

$J_1^{0, red}$ и $J_2^{0, red}$ - приведенные моменты инерции левой и правой ветвей диафрагмы (в сечении по проему);

$J_j^{0, red}$ - приведенный момент инерции сечения диафрагмы без учета проемов и в предположении абсолютно жесткого сопряжения составляющих ее сборных элементов;

F_1^{red} и F_2^{red} - приведенные площади левой и правой ветвей диафрагмы (в сечении по проему).

3.6. Расчетная жесткость сечения отдельной диафрагмы (как сплошной, так и с проемами) определяется как произведение приведенной жесткостной характеристики сечения, вычисленной по п.3.3, на наименьшее значение коэффициента условий работы из вычисленных по п.п. 3.4 и 3.5.

$$B_{xi}^{red} = \gamma_{ДЕФ, X}^{0, red} \cdot B_{xi}^{0, red}; \quad (3.25)$$

$$B_{yi}^{red} = \gamma_{ДЕФ, Y}^{0, red} \cdot B_{yi}^{0, red}; \quad (3.26)$$

$$B_{xyi}^{red} = \gamma_{ДЕФ}^{0, red} \cdot B_{xyi}^{0, red}; \quad (3.27)$$

$$A_i^{red} = \gamma_{ДЕФ}^{0, red} \cdot A_i^{0, red}; \quad (3.28)$$

3.7. В диафрагмах сложной формы (Г-образной, замкнутой и др.) следует определять приведенную изгибно-крутильную жесткость сечения B_{xi}^{red} в предположении абсолютно жесткого сопряжения составляющих их сборных элементов по формуле

1.034.1-1/90.0-1-1.3А

Лист
7

ФОРМАТ А4

1.034.1-1/90.0-1-1.3А

Лист
8

24451 12

$$B_{wi}^{o,red} = \sum_1^{j=m} B_{xj}^{o,red} \cdot C_{xj}^2 + \sum_1^{j=m} B_{yj}^{o,red} \cdot C_{yj}^2 - 2 \sum_1^{j=m} B_{xyj}^{o,red} \cdot C_{xj} \cdot C_{yj}, \quad (3.29)$$

где

C_{xj} и C_{yj} - расстояния между центрами изгиба сборных элементов диафрагмы и центром изгиба диафрагмы;

$B_{xj}^{o,red}$, $B_{yj}^{o,red}$ и $B_{xyj}^{o,red}$ - определяются по таблицам в соответствии с п.1.3 настоящих указаний или по формулам (3.6), (3.7), (3.8), (3.10), (3.11), (3.12).

Расчетная изгибно-крутильная жесткость сечения отдельной диафрагмы определяется как произведение изгибно-крутильной жесткости этой диафрагмы, вычисленной по формуле (3.29), на коэффициент условий работы $\gamma_{дэф}$, определяемый как полусумма наименьших значений $\gamma_{дэф,x}$ и $\gamma_{дэф,y}$, вычисленных по п.п. 3.4 и 3.5 по формуле

$$B_{wi}^{red} = \gamma_{дэф} B_{wi}^{o,red} \quad (3.30)$$

Центры изгиба сечений сборных элементов диафрагмы прямоугольной формы в плане (имеющие две оси симметрии) совпадают с центрами тяжести этих сечений.

Центры изгиба сечения отдельной диафрагмы прямоугольной формы в плане совпадают с центром тяжести сечения диафрагмы. Центры изгиба сечений диафрагм уголкового, таврового, [образного очертания расположены как показано на рис.2. При этом координата центра изгиба сечения b_{xj} диафрагмы [образного очертания определяется по формуле

$$b_{xj} = - \frac{3l_w^2}{h_w + 6l_w}, \quad (3.31)$$

где l_w и h_w - размеры сечения диафрагмы.

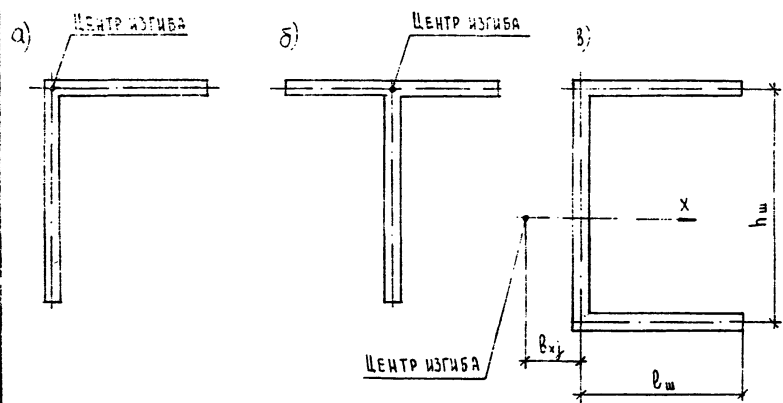


Рис.2. Схемы расположения центров изгиба диафрагм различных очертаний в плане:
 а) уголкового; б) таврового; в) [образного.

ИВ. № ПР.А. ПОДПИСЬ И ДАТА ВЗЯМ. НАВ. №		ИВ. № ПР.А. ПОДПИСЬ И ДАТА ВЗЯМ. НАВ. №	ИВ. № ПР.А. ПОДПИСЬ И ДАТА ВЗЯМ. НАВ. №
	1.034.1 - 1/90.0 - 1-1.3А		

ИВ. № ПР.А. ПОДПИСЬ И ДАТА ВЗЯМ. НАВ. №		ИВ. № ПР.А. ПОДПИСЬ И ДАТА ВЗЯМ. НАВ. №	ИВ. № ПР.А. ПОДПИСЬ И ДАТА ВЗЯМ. НАВ. №
	1.034.1 - 1/90.0 - 1-1.3А		

4. ЖЕСТКОСТНЫЕ ХАРАКТЕРИСТИКИ ГОРИЗОНТАЛЬНОГО СЕЧЕНИЯ БЛОКА ЗДАНИЯ

4.1. Координаты центра жесткостей a_x^{BA} и a_y^{BA} сечения блока здания относительно произвольной системы координат определяются по формулам:

$$a_x^{BA} = \frac{\sum_{i=1}^{i=n} A_i^{red} \cdot x_{oi}}{\sum_{i=1}^{i=n} A_i^{red}}; \quad (4.1)$$

$$a_y^{BA} = \frac{\sum_{i=1}^{i=n} A_i^{red} \cdot y_{oi}}{\sum_{i=1}^{i=n} A_i^{red}}; \quad (4.2)$$

где n - количество диафрагм, входящих в блок здания;
 x_{oi} и y_{oi} - координаты центра тяжести сечения отдельной диафрагмы относительно произвольной системы координат;
 A_i^{red} - определяется по формуле (3.28).

4.2. Координаты центра изгиба b_x^{BA} и b_y^{BA} сечения блока здания относительно произвольной системы координат определяются по формулам:

$$b_x^{BA} = \frac{1}{\sum_{i=1}^{i=n} B_{xi}^{red} \sum_{j=1}^{j=n} B_{yj}^{red} - (\sum_{i=1}^{i=n} B_{xyi}^{red})^2} \left(\sum_{i=1}^{i=n} B_{yi}^{red} \sum_{j=1}^{j=n} B_{xlj}^{red} \cdot c_{o,xi} - \sum_{i=1}^{i=n} B_{yi}^{red} \sum_{j=1}^{j=n} B_{xyj}^{red} \cdot c_{o,yi} - \sum_{i=1}^{i=n} B_{xyi}^{red} \sum_{j=1}^{j=n} B_{xylj}^{red} \cdot c_{o,xi} + \sum_{i=1}^{i=n} B_{xyi}^{red} \sum_{j=1}^{j=n} B_{yj}^{red} \cdot c_{o,yi} \right); \quad (4.3)$$

$$b_y^{BA} = \frac{1}{\sum_{i=1}^{i=n} B_{xi}^{red} \sum_{j=1}^{j=n} B_{yj}^{red} - (\sum_{i=1}^{i=n} B_{xyi}^{red})^2} \left(\sum_{i=1}^{i=n} B_{xi}^{red} \sum_{j=1}^{j=n} B_{yj}^{red} \cdot c_{o,yi} - \sum_{i=1}^{i=n} B_{xi}^{red} \sum_{j=1}^{j=n} B_{xyj}^{red} \cdot c_{o,xi} - \sum_{i=1}^{i=n} B_{xyi}^{red} \sum_{j=1}^{j=n} B_{xylj}^{red} \cdot c_{o,yi} + \sum_{i=1}^{i=n} B_{xyi}^{red} \sum_{j=1}^{j=n} B_{xlj}^{red} \cdot c_{o,xi} \right); \quad (4.4)$$

где $c_{o,xi}$ и $c_{o,yi}$ - координаты центра изгиба сечения отдельной диафрагмы относительно произвольной системы координат;
 B_{xi}^{red} , B_{yj}^{red} и B_{xyi}^{red} - определяются по формулам (3.25), (3.26) и (3.27).

Если в блоке здания все приведенные центробежные жесткости B_{xyi}^{red} сечения отдельных диафрагм равны "нулю", то формулы (4.3) и (4.4) значительно упрощаются и принимают следующий вид

$$b_x^{BA} = \frac{\sum_{i=1}^{i=n} B_{xi}^{red} \cdot c_{o,xi}}{\sum_{i=1}^{i=n} B_{xi}^{red}}; \quad (4.5)$$

$$b_y^{BA} = \frac{\sum_{i=1}^{i=n} B_{yi}^{red} \cdot c_{o,yi}}{\sum_{i=1}^{i=n} B_{yi}^{red}}; \quad (4.6)$$

4.3. Суммарные жесткости на изгиб D_x и D_y относительно соответственно осей X и Y, центробежная жесткость D_{xy} и изгибно-крутильная (секториальная) жесткость D_{ω} сечения блока здания определяются по формулам:

$$D_x = \sum_{i=1}^{i=n} B_{xi}^{red} + \sum_{i=1}^{i=n} A_i^{red} \cdot y_i^2; \quad (4.7)$$

1034.1-1/90.0-1-1.4А

Жесткостные характеристики горизонтального сечения блока здания		СТАДИЯ	ЛИСТ	ЛИСТОВ
И.И.И.И.И.	И.И.И.И.И.	Р	1	3
И.И.И.И.И.		ЦНИИЭП		
И.И.И.И.И.		УЧЕБНЫХ ЗДАНИЙ		

1034.1-1/90.0-1-1.4А

$$D_y = \sum_1^{i,n} B_{yi}^{red} + \sum_1^{i,n} A_i^{red} \cdot x_i^2; \quad (4.8)$$

$$D_{xy} = \sum_1^{i,n} B_{xyi}^{red} + \sum_1^{i,n} A_i^{red} \cdot x_i \cdot y_i; \quad (4.9)$$

$$D_{\omega} = \sum_1^{i,n} B_{\omega i}^{red} + \sum_1^{i,n} B_{xi}^{red} \cdot c_{xi}^2 + \sum_1^{i,n} B_{yi}^{red} \cdot c_{yi}^2 - 2 \sum_1^{i,n} B_{xyi}^{red} \cdot c_{xi} \cdot c_{yi}; \quad (4.10)$$

где

x_i и y_i - координаты центра тяжести сечения отдельной диафрагмы относительно центра жесткостей сечения блока здания, определенное по формулам (4.1) и (4.2);

c_{xi} и c_{yi} - координаты центра изгиба сечения отдельной диафрагмы относительно центра изгиба сечения блока здания, определенного по формулам (4.3) и (4.4);

B_{xi}^{red} , B_{yi}^{red} , B_{xyi}^{red} , A_i^{red} и $B_{\omega i}^{red}$ - определяются соответственно по формулам (3.25), (3.26), (3.27), (3.26) и (3.30).

4.4. Суммарные жесткости на изгиб D_{x1} и D_{y1} относительно главных центральных осей инерции соответственно XI и YI определяются по формулам:

$$D_{x1} = D_x \cos^2 \alpha_{БЛ} + D_y \sin^2 \alpha_{БЛ} - D_{xy} \sin 2\alpha_{БЛ}; \quad (4.II)$$

$$D_{y1} = D_x \sin^2 \alpha_{БЛ} + D_y \cos^2 \alpha_{БЛ} + D_{xy} \sin 2\alpha_{БЛ}, \quad (4.I2)$$

где

D_x , D_y и D_{xy} - определяются по формулам (4.7), (4.8) и (4.9); $\alpha_{БЛ}$ - угол между главными центральными осями инерции XI (или YI) и координатными осями X (или Y) сечения блока здания, определяемый по формуле $\alpha_{БЛ} = \frac{1}{2} \arcsin \frac{2D_{xy}}{D_x - D_y}$, (4.I3)

где $\operatorname{tg} 2 \alpha_{БЛ} = \frac{2 D_{xy}}{D_y - D_x}$ (4.I3a)

1.034.1 - 1/90.0-1-1.4А

Лист 3

5. ЖЕСТКОСТНЫЕ ХАРАКТЕРИСТИКИ ФУНДАМЕНТОВ ОТДЕЛЬНОЙ ДИАФРАГМЫ И ВСЕХ ДИАФРАГМ БЛОКА ЗДАНИЯ.

5.1. Степень деформативности основания при оценке жесткостной характеристики фундамента характеризуется с помощью коэффициентов единичных жесткостей на изгиб m_{ix} и m_{iy} , прямо пропорциональных соответствующим нормативным значениям изгибающих моментов $M_x = I$ и $M_y = I$ и обратно пропорциональных кренам (поворотам подошвы) фундамента i_x^i и i_y^i в направлении соответственно осей X и Y, и определяемых по формулам:

$$m_{ix} = \frac{1}{i_x^i}; \quad (5.1)$$

$$m_{iy} = \frac{1}{i_y^i}; \quad (5.2)$$

5.2. Крены фундамента i_x^i и i_y^i определяются в соответствии со СНиП 2.02.01-83 "Основания зданий и сооружений" (см. п.9 и I0 приложения 2)

$$i_x^i = \frac{(1-\nu^2)}{E K_m} K_e \frac{M_y}{(\frac{b}{2})^3}; \quad (5.3)$$

$$i_y^i = \frac{(1-\nu^2)}{E K_m} K_e \frac{M_x}{(\frac{b}{2})^3}; \quad (5.4)$$

где

$$M_x = I; \quad M_y = I;$$

l - сторона фундамента в направлении действия изгибающего момента M_y ,

b - сторона фундамента в направлении действия изгибающего момента M_x .

1.034.1 - 1/90.0-1-1.5А

ИВ. № ПОДЛ.	ПОДПИСЬ И ДАТА	ВЗЛ. ИВ. №	1.034.1 - 1/90.0-1-1.5А		
			Жесткостные характеристики фундаментов отдельной диафрагмы и всех диафрагм блока здания	СТАДИЯ	Лист
НАЧ. ОТД.	ШАХОВА	ИВ. №	Р	1	2
БЕД. ИНИ.	ЖЕЛДОВА	ИВ. №	ЦНИИЭП		
ИНИ. ШКАТ.	ДЕСЯТОВА	ИВ. №	УЧЕБНЫХ ЗДАНИЙ		

Остальные условные обозначения в формулах (5.3) и (5.4) приняты в соответствии с п.9 приложения 2 СНиП 2.02.01-83.

5.3. Суммарные коэффициенты единичных жесткостей оснований под фундаментами блока здания R_x , R_y и R_w определяются по формулам:

$$R_x = \sum_1^{i=n} m_{ix}^i; \quad (5.5)$$

$$R_y = \sum_1^{i=n} m_{iy}^i; \quad (5.6)$$

$$R_w = \sum_1^{i=n} (m_{ix}^i c_{xi}^2 + m_{iy}^i c_{yi}^2) \quad (5.7)$$

где

m_{ix} и m_{iy} - определяются по формулам (5.1) и (5.2);

c_{xi} и c_{yi} - см. п.4.3 настоящих указаний.

6. УСИЛИЯ, ВОЗНИКАЮЩИЕ В БЛОКЕ ЗДАНИЯ ПОД ДЕЙСТВИЕМ ВЕРТИКАЛЬНЫХ И ГОРИЗОНТАЛЬНЫХ НАГРУЗОК.

6.1. Определение расчетных усилий Q_i^0 и M_i^0 , приходящихся на I п.м. горизонтального сечения блока здания, сводится к последовательному вычислению их значений от вершины здания до фундамента. Например, для здания высотой 40 м значения Q_i^0 и M_i^0 определяются в горизонтальных сечениях здания последовательно сверху вниз (в точках 3,2,1,0 - см. рис.3), а также в уровне подошвы фундамента (точка Ф), по формулам:

$$Q_3^0 = \frac{(q_3 + q_2)}{2} h_4; \quad M_3^0 = \frac{q_3 h_4^2}{2} + \frac{(q_3 - q_2) h_4^2}{3};$$

$$Q_2^0 = Q_3 + \frac{(q_2 + q_1)}{2} h_3; \quad M_2^0 = M_3^0 + Q_3 h_3 + \frac{q_2 h_3^2}{2} + \frac{(q_2 - q_1) h_3^2}{3};$$

$$Q_1^0 = Q_2 + \frac{(q_1 + q_0)}{2} h_2; \quad M_1^0 = M_2^0 + Q_2 h_2 + \frac{q_1 h_2^2}{2} + \frac{(q_1 - q_0) h_2^2}{3};$$

$$Q_0^0 = Q_1 + q_0 h_1; \quad M_0^0 = M_1^0 + Q_1 h_1 + \frac{q_1 h_1^2}{2};$$

$$Q_\Phi^0 = Q_0^0; \quad M_\Phi^0 = M_0^0 + Q_0^0 h_n$$

В таблице I раздела 2 настоящих указаний приведены приходящиеся на I п.м горизонтального сечения блока здания расчетные значения усилий Q_i^0 и M_i^0 , вызванные ветровым давлением, вычисленные в уровне земли, в зданиях различной высоты с интервалом 2м и максимальной высотой 40 м для I-го ветрового района СССР (типы местности "А", "В", и "С"). Для зданий промежуточной высоты значения Q_i^0 и M_i^0 принимаются по интерполяции.

1.034.1 - 1/90.0-1-1.6А

ИЗДАТЕЛЬСТВО И ДАТА ИЗДАНИЯ ИЛИ № ИЛИ №

ИЗДАТЕЛЬСТВО И ДАТА ИЗДАНИЯ ИЛИ № ИЛИ №

1.034.1 - 1/90.0-1-1.5А

Лист 2

ИЗДАТЕЛЬСТВО	ШАХОВА	ПЕТРОВ	ЖЕРДЕВА	ДЕСЯТОВА	Усилия, возникающие в блоке здания под действием вертикальных и горизонтальных нагрузок	Страница	Лист	Листов
ИЗДАТЕЛЬСТВО	ШАХОВА	ПЕТРОВ	ЖЕРДЕВА	ДЕСЯТОВА		Р	1	8
						ЦНИИЭП УЧЕБНЫХ ЗАДАНИИ		

Для ветровых районов СССР Ia, П...УП значения Q_i^0 и M_i^0 указанные в таблице I, следует умножать на коэффициент пропорциональности K_1 , определяемый как показано в разделе 2.3 настоящих указаний.

На рис.3 "б", "в" показаны соответственно эпюры поперечных сил Q_i^0 и изгибающих моментов M_i^0 , приходящиеся на I п.м горизонтального сечения блока здания.

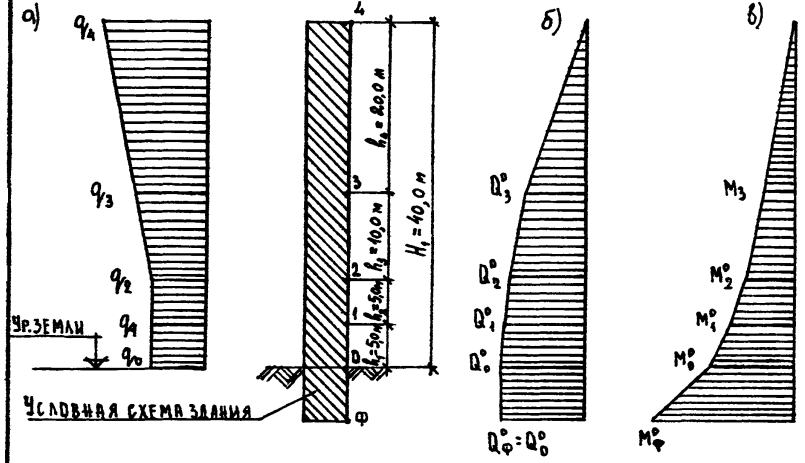


Рис.3 Эпюры интенсивности q_i расчетного ветрового давления, расчетных поперечных сил Q_i^0 и расчетных изгибающих моментов M_i^0 на I п.м блока здания высотой 40 м:
 а - эпюра q_i ;
 б - эпюра Q_i^0 ;
 в - эпюра M_i^0 .

6.2. Суммарные расчетные изгибающие моменты M_x и M_y , относительно осей соответственно X и Y и суммарный изгибно-крутильный момент M_ω от вертикальных и горизонтальных нагрузок, действующие на блок здания, определяются по следующим формулам:

$$M_x = (M_x^{0,K} + \sum_{i=1}^{i=n} N_i^K e_{xi}^K) \eta_x^K + (M_x^{0,AA} + \sum_{i=1}^{i=n} N_i^{AA} e_{xi}^{AA}) \eta_x^{AA}; \quad (6.1)$$

$$M_y = (M_y^{0,K} + \sum_{i=1}^{i=n} N_i^K e_{yi}^K) \eta_y^K + (M_y^{0,AA} + \sum_{i=1}^{i=n} N_i^{AA} e_{yi}^{AA}) \eta_y^{AA}; \quad (6.2)$$

$$M_\omega = [M_x^{0,K} x_0 + M_y^{0,K} y_0 + \sum_{i=1}^{i=n} N_i^K (e_{yi}^K c_{yi} + e_{xi}^K c_{xi})] \eta_\omega^K + [M_x^{0,AA} x_0 + M_y^{0,AA} y_0 + \sum_{i=1}^{i=n} N_i^{AA} (e_{yi}^{AA} c_{yi} + e_{xi}^{AA} c_{xi})] \eta_\omega^{AA}, \quad (6.3)$$

где:
 $M_x^{0,K}; M_y^{0,K}; M_x^{0,AA}; M_y^{0,AA}$ - суммарные расчетные изгибающие моменты от поперечных воздействий (без учета продольного изгиба) относительно осей X и Y соответственно при кратковременных и длительных воздействиях;
 N_i^K и N_i^{AA} - расчетные вертикальные нагрузки на i-ю диафрагму соответственно при кратковременных и длительных воздействиях;
 $e_{xi}^K; e_{yi}^K; e_{xi}^{AA}; e_{yi}^{AA}$ - эксцентриситеты приложения расчетной вертикальной нагрузки в i-ой диафрагме соответственно при кратковременных и длительных воздействиях;

x_0 и y_0 - проекции расстояний соответственно на оси X и Y от точек приложения расчетных изгибающих моментов соответственно $M_x^{0,K}; M_x^{0,AA}$ и $M_y^{0,K}; M_y^{0,AA}$ до центра изгиба горизонтального сечения блока здания;

c_{xi} и c_{yi} - см. п.4.3 настоящих указаний;
 $\eta_x^K; \eta_y^K; \eta_\omega^K; \eta_x^{AA}; \eta_y^{AA}; \eta_\omega^{AA}$ - эмпирические коэффициенты, учитывающие влияние продольного изгиба соответственно при кратковременных и длительных воздействиях.

6.3. Эмпирические коэффициенты $\eta_x^K; \eta_y^K; \eta_\omega^K; \eta_x^{AA}; \eta_y^{AA}$ и η_ω^{AA} вычисляются без учета влияния податливости основания и с учетом податливости основания. В расчеты вводятся наибольшие значения эмпирических коэффициентов.

6.4. Коэффициенты $\eta_x^K; \eta_y^K$ и η_ω^K вычисляемые без учета влияния податливости основания, определяются по формулам:

Лист № подл. Подпись и дата. Взам. инв. №

$$\eta_x^k = \frac{1}{1 - \frac{N}{N_x^{\alpha}}}; \quad (6.4)$$

$$\eta_y^k = \frac{1}{1 - \frac{N}{N_y^{\alpha}}}; \quad (6.5)$$

$$\eta_w^k = \frac{1}{1 - \frac{N}{N_w^{\alpha}}}; \quad (6.6)$$

где

N - суммарные кратковременные и длительные расчетные вертикальные нагрузки на блок здания;

N_x^{α} , N_y^{α} и N_w^{α} - критические веса блока здания, определяемые по формулам (6.11), (6.12) и (6.13).

Коэффициенты $\eta_x^{\Delta\Delta}$, $\eta_y^{\Delta\Delta}$ и $\eta_w^{\Delta\Delta}$ вычисляются без учета поделчатости основания, определяются по формулам:

$$\eta_x^{\Delta\Delta} = \frac{1}{1 - \frac{N \cdot \varphi_{\delta_2}^{\text{cp}}}{N_x^{\text{cr}}}}; \quad (6.7)$$

$$\eta_y^{\Delta\Delta} = \frac{1}{1 - \frac{N \cdot \varphi_{\delta_2}^{\text{cp}}}{N_y^{\text{cr}}}}; \quad (6.8)$$

$$\eta_w^{\Delta\Delta} = \frac{1}{1 - \frac{N \cdot \varphi_{\delta_2}^{\text{cp}}}{N_w^{\text{cr}}}}; \quad (6.9)$$

где

$\varphi_{\delta_2}^{\text{cp}}$ - среднее значение коэффициента φ_{δ_2} , учитывающее влияние длительной ползучести бетона и определяемое по формуле

$$\varphi_{\delta_2}^{\text{cp}} = \frac{N_k + N_{\Delta\Delta} \varphi_{\delta_2}}{N_k + N_{\Delta\Delta}}; \quad (6.10)$$

где

N_k ; $N_{\Delta\Delta}$ - расчетные значения соответственно кратковременных и длительных вертикальных нагрузок, действующих на блок здания;

φ_{δ_2} - коэффициент по п.2 табл.34 СНиП 2.03.01-84.

6.5. Критические веса блока здания N_x^{α} ; N_y^{α} и N_w^{α} определяются по формулам:

$$N_x^{\alpha} = \frac{\sqrt{L}^2 \sum_{i=1}^{i=n} B_{x_i}^{\text{red}}}{1,5 \varphi_{\delta_2}^{\text{cp}} H^2}; \quad (6.11)$$

$$N_y^{\alpha} = \frac{\sqrt{L}^2 \sum_{i=1}^{i=n} B_{y_i}^{\text{red}}}{1,5 \varphi_{\delta_2}^{\text{cp}} H^2}; \quad (6.12)$$

$$N_w^{\alpha} = \frac{\sqrt{L}^2 D_w}{1,5 \varphi_{\delta_2}^{\text{cp}} H^2 \gamma_{\text{БЛ}}}; \quad (6.13)$$

где

H - высота здания с учетом подвала;

D_w - определяется по формуле (4.10);

$B_{x_i}^{\text{red}}$ и $B_{y_i}^{\text{red}}$ - определяются по формулам (3.25) и (3.26);

$\varphi_{\delta_2}^{\text{cp}}$ - определяется по формуле (6.10);

$\gamma_{\text{БЛ}}$ - параметр, зависящий от размеров сечения блока здания, его формы в плане и от места расположения его центра изгиба и вычисляемый по формуле:

$$\gamma_{\text{БЛ}} = \frac{\int \rho^2 dF}{F_{\text{БЛ}}}, \quad (6.14)$$

где

$F_{\text{БЛ}}$ - площадь блока здания в плане;

dF - элементарная площадка блока здания в плане;

ρ - расстояние от центра элементарной площадки dF до центра изгиба блока здания.

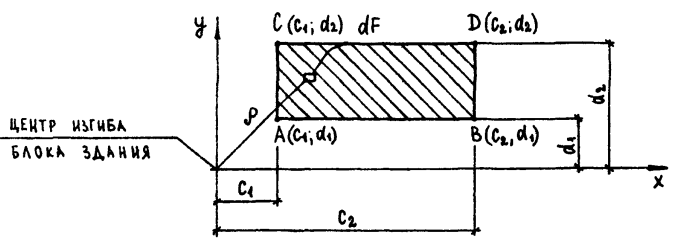


Рис.4 Схема для определения интеграла $\int_{F_{БЛ}} \rho^2 dF$, вычисляемого по формуле (6.15).

Для блока здания ABCD прямоугольной формы в плане интеграл $\int_{F_{БЛ}} \rho^2 dF$, входящий в числитель формулы (6.14), определяется по следующей формуле

$$\int_{F_{БЛ}} \rho^2 dF = \int_{c_1}^{c_2} \int_{d_1}^{d_2} (x^2 + y^2) dx dy = \frac{1}{3} [(c_2^3 - c_1^3)(d_2 - d_1) + (c_2 - c_1)(d_2^3 - d_1^3)], \quad (6.15)$$

где c_1, c_2, d_1, d_2 - координаты точек, расположенных в углах прямоугольного участка блока здания (см.рис.4).

Если блок здания имеет более сложную форму в плане, по сравнению с прямоугольной, то он разбивается на ряд прямоугольных участков. Значения интеграла $\int_{F_{БЛ}} \rho^2 dF$ вычисляются для каждого прямоугольного участка, а затем результаты суммируются и подставляются в числитель формулы (6.14) взамен интеграла $\int_{F_{БЛ}} \rho^2 dF$

6.6. Коэффициенты η_x^k, η_y^k и η_ω^k , вычисляемые с учетом податливости основания, определяются по формулам:

$$\eta_x^k = \frac{1}{1 - \frac{\sqrt{x_{x,k}}}{\sqrt{x_{x,0}}}}; \quad (6.16)$$

$$\eta_y^{kp} = \frac{1}{1 - \frac{\sqrt{y_{y,k}}}{\sqrt{y_{y,0}}}}; \quad (6.17)$$

$$\eta_\omega^{kp} = \frac{1}{1 - \frac{\sqrt{\omega_{\omega,k}}}{\sqrt{\omega_{\omega,0}}}}; \quad (6.18)$$

1034.1-1/90.0-1-1.6А

Лист 6

ФОРМАТ А4

где $\sqrt{x_{x,k}}, \sqrt{y_{y,k}}$ и $\sqrt{\omega_{\omega,k}}$ - безразмерные параметры при кратковременных воздействиях, определяемые по формулам (6.22), (6.23) и (6.24); $\sqrt{x_{x,0}}, \sqrt{y_{y,0}}$ и $\sqrt{\omega_{\omega,0}}$ - критические значения безразмерных параметров, определяемые по формулам (6.28), (6.29) и (6.30).

Коэффициенты $\eta_x^{\Delta\Delta}, \eta_y^{\Delta\Delta}$ и $\eta_\omega^{\Delta\Delta}$ вычисляемые с учетом податливости основания, определяются по формулам:

$$\eta_x^{\Delta\Delta} = \frac{1}{1 - \frac{\sqrt{x_{x,\Delta\Delta}}}{\sqrt{x_{x,0}}}}; \quad (6.19)$$

$$\eta_y^{\Delta\Delta} = \frac{1}{1 - \frac{\sqrt{y_{y,\Delta\Delta}}}{\sqrt{y_{y,0}}}}; \quad (6.20)$$

$$\eta_\omega^{\Delta\Delta} = \frac{1}{1 - \frac{\sqrt{\omega_{\omega,\Delta\Delta}}}{\sqrt{\omega_{\omega,0}}}}; \quad (6.21)$$

где $\sqrt{x_{x,\Delta\Delta}}, \sqrt{y_{y,\Delta\Delta}}$ и $\sqrt{\omega_{\omega,\Delta\Delta}}$ - безразмерные параметры при длительных воздействиях, определяемые по формулам (6.25), (6.26) и (6.27);

Безразмерные параметры $\sqrt{x_{x,k}}, \sqrt{y_{y,k}}$ и $\sqrt{\omega_{\omega,k}}$ при кратковременных воздействиях вычисляются по формулам:

$$\sqrt{x_{x,k}} = \frac{H^2 N}{\sum_{i=0}^{i=k} B_{xi}}, \quad (6.22)$$

$$\sqrt{y_{y,k}} = \frac{H^2 N}{\sum_{i=0}^{i=k} B_{yi}}, \quad (6.23)$$

$$\sqrt{\omega_{\omega,k}} = \frac{H^2 N \gamma_{БЛ}}{D \omega}, \quad (6.24)$$

Безразмерные параметры $\sqrt{x_{x,\Delta\Delta}}, \sqrt{y_{y,\Delta\Delta}}$ и $\sqrt{\omega_{\omega,\Delta\Delta}}$ при длительных воздействиях вычисляются по формулам:

И№, № ПОДЛ., ПОДПИСЬ И ДАТА, ВЗАИМ. И№, №

1034.1-1/90.0-1-1.6А

Лист 7

24451 19

ФОРМАТ А4

$$V_{x,AA} = \frac{H^2 N \varphi_{\delta_2}^{cp}}{\sum_1^{i-n} B_{xi}^{red}}; \quad (6.25)$$

$$V_{y,AA} = \frac{H^2 N \varphi_{\delta_2}^{cp}}{\sum_1^{i-n} B_{yi}^{red}}; \quad (6.26)$$

$$V_{\omega,AA} = \frac{H^2 N \varphi_{\delta_2}^{cp} \gamma_{\delta_1}}{D \omega}; \quad (6.27)$$

Критические значения безразмерных параметров V_x^{cr} , V_y^{cr} и V_{ω}^{cr} вычисляются по эмпирическим формулам:

$$V_x^{cr} = \frac{2,08}{0,266 + \varphi_x}; \quad (6.28)$$

$$V_y^{cr} = \frac{2,08}{0,266 + \varphi_y}; \quad (6.29)$$

$$V_{\omega}^{cr} = \frac{2,08}{0,266 + \varphi_{\omega}}; \quad (6.30)$$

Значения коэффициентов φ_x , φ_y и φ_{ω} вычисляются по формулам:

$$\varphi_x = \frac{\sum_1^{i-n} B_{xi}^{red}}{H R_x \varphi_{\delta_2}^{cp}}; \quad (6.31)$$

$$\varphi_y = \frac{\sum_1^{i-n} B_{yi}^{red}}{H R_y \varphi_{\delta_2}^{cp}}; \quad (6.32)$$

$$\varphi_{\omega} = \frac{D \omega}{H R_{\omega} \varphi_{\delta_2}^{cp}}; \quad (6.33)$$

где

R_x , R_y и R_{ω} - определяются соответственно по формулам (5.5), (5.6) и (5.7).

Остальные буквенные обозначения, принятые в формулах (6.22)

... (6.33), см. п.6.4 настоящих указаний.

1.054.1-1/90.0-1-1.6Д,

Лист 8

Формат А4

7. УСИЛИЯ ОТ ГОРИЗОНТАЛЬНЫХ И ВЕРТИКАЛЬНЫХ НАГРУЗОК, ПЕРЕДАЮЩИЕСЯ НА ОТДЕЛЬНЫЕ ДИАФРАГМЫ.

7.1. Определение усилий, возникающих в отдельных диафрагмах от горизонтальных и вертикальных нагрузок, сводится к вычислению с помощью распределительных коэффициентов части действующего на блок здания суммарного изгибающего момента, воспринимаемого этой диафрагмой.

Распределительные коэффициенты определяются по формулам:

$$K_{xxi} = \frac{\left(\sum_1^{i-n} B_{xi}^{red} / B_{yi}^{red} - \left(\sum_1^{i-n} B_{xyi}^{red} / B_{xyi}^{red}\right)\right) B_{xyi}^{red}}{\sum_1^{i-n} B_{xi}^{red} \sum_1^{i-n} B_{yi}^{red} - \left(\sum_1^{i-n} B_{xyi}^{red}\right)^2}; \quad (7.1)$$

$$K_{yyi} = \frac{\left(\sum_1^{i-n} B_{yi}^{red} / B_{xi}^{red} - \left(\sum_1^{i-n} B_{xyi}^{red} / B_{xyi}^{red}\right)\right) B_{xyi}^{red}}{\sum_1^{i-n} B_{xi}^{red} \sum_1^{i-n} B_{yi}^{red} - \left(\sum_1^{i-n} B_{xyi}^{red}\right)^2}; \quad (7.2)$$

$$K_{xyi} = \frac{\left(\sum_1^{i-n} B_{xi}^{red} / B_{xyi}^{red} - \left(\sum_1^{i-n} B_{xyi}^{red} / B_{xyi}^{red}\right)\right) B_{xyi}^{red}}{\sum_1^{i-n} B_{xi}^{red} \sum_1^{i-n} B_{yi}^{red} - \left(\sum_1^{i-n} B_{xyi}^{red}\right)^2}; \quad (7.3)$$

$$K_{yxi} = \frac{\left(\sum_1^{i-n} B_{yi}^{red} / B_{xyi}^{red} - \left(\sum_1^{i-n} B_{xyi}^{red} / B_{xyi}^{red}\right)\right) B_{xyi}^{red}}{\sum_1^{i-n} B_{xi}^{red} \sum_1^{i-n} B_{yi}^{red} - \left(\sum_1^{i-n} B_{xyi}^{red}\right)^2}; \quad (7.4)$$

$$K_{\omega xi} = \frac{1}{D \omega} (B_{xyi}^{red} C_{xi}^{red} - B_{yi}^{red} C_{yi}^{red}); \quad (7.5)$$

1.054.1-1/90.0-1-1.7Д

Имя Отд. Шахова
Имя Отд. Петров
Имя Имя Жерева
Имя Имя Десятова

Усилия от горизонтальных и вертикальных нагрузок, передающиеся на отдельные диафрагмы

Страница Лист 1 6
ЦНИИЭП
УЧЕБНЫХ ЗДАНИЙ

Имя № Подп. Подпись и дата

Имя № Подп. Подпись и дата

где $K_{\omega yi} = \frac{1}{D_{\omega}} (B_{xi}^{red} C_{xi} - B_{yxi}^{red} C_{yi})$ (7.6)

$\sum_1^{i=n} B_{xi}^{red}$; $\sum_1^{i=n} B_{yxi}^{red}$; $\sum_1^{i=n} B_{xii}^{red}$ и D_{ω} - суммарные приведенные жесткости соответственно на изгиб относительно осей X и Y, центробежная и изгибно-крутильная горизонтального сечения блока здания;

B_{xi}^{red} ; B_{yxi}^{red} ; B_{xii}^{red} - определяются по формулам (3.25), (3.26) и (3.27);

C_{xi} и C_{yi} - определяются в соответствии с п.4.3 настоящих указаний.

Правильность вычисления коэффициентов распределения нагрузок между отдельными диафрагмами может быть проверена их суммированием:

$$\sum_1^{i=n} K_{xxi} = \sum_1^{i=n} K_{yxi} = 1; \quad (7.7)$$

$$\sum_1^{i=n} K_{xyi} = \sum_1^{i=n} K_{yxii} = \sum_1^{i=n} K_{\omega xi} = \sum_1^{i=n} K_{\omega yi} = 0 \quad (7.8)$$

7.2. Изгибающие моменты $M_{xi}^{k(r_1)}$ и $M_{yi}^{k(r_1)}$, возникающие в i-ой диафрагме от действия кратковременной горизонтальной нагрузки, действующей только вдоль оси Y (см.рис.5), определяются по формулам:

$$M_{xi}^{k(r_1)} = M_x^{0,k(r_1)} (K_{yxi} \cdot \eta_x^k + x_0 \cdot K_{\omega yi} \cdot \eta_{\omega}^k); \quad (7.9)$$

$$M_{yi}^{k(r_1)} = M_x^{0,k(r_1)} (K_{yxii} \cdot \eta_y^k + x_0 \cdot K_{\omega xii} \cdot \eta_{\omega}^k); \quad (7.10)$$

Изгибающие моменты $M_{xi}^{k(r_2)}$ и $M_{yi}^{k(r_2)}$, возникающие в i-ой диафрагме от действия кратковременной горизонтальной нагрузки, действующей только вдоль оси X (см.рис.6), определяются по формулам:

$$M_{xi}^{k(r_2)} = M_y^{0,k(r_2)} (K_{xxi} \cdot \eta_x^k + y_0 \cdot K_{\omega xi} \cdot \eta_{\omega}^k); \quad (7.11)$$

$$M_{yi}^{k(r_2)} = M_y^{0,k(r_2)} (K_{yxi} \cdot \eta_y^k + y_0 \cdot K_{\omega yi} \cdot \eta_{\omega}^k) \quad (7.12)$$

Изгибающие моменты $M_{xi}^{k(r_1+r_2)}$ и $M_{yi}^{k(r_1+r_2)}$, возникающие в i-ой диафрагме от действия кратковременной горизонтальной нагрузки под углом 45° к геометрическим осям здания (см.рис.7), определяются по формулам:

$$M_{xi}^{k(r_1+r_2)} = M_x^{0,k(r_1)} (K_{yxi} \cdot \eta_x^k + x_0 \cdot K_{\omega yi} \cdot \eta_{\omega}^k) + M_y^{0,k(r_2)} (K_{xxi} \cdot \eta_x^k + y_0 \cdot K_{\omega xi} \cdot \eta_{\omega}^k); \quad (7.13)$$

$$M_{yi}^{k(r_1+r_2)} = M_x^{0,k(r_1)} (K_{yxii} \cdot \eta_y^k + x_0 \cdot K_{\omega xii} \cdot \eta_{\omega}^k) + M_y^{0,k(r_2)} (K_{yxi} \cdot \eta_y^k + y_0 \cdot K_{\omega yi} \cdot \eta_{\omega}^k); \quad (7.14)$$

где $M_x^{0,k(r_1)}$ и $M_y^{0,k(r_2)}$ - суммарные расчетные изгибающие моменты от действия кратковременных горизонтальных нагрузок соответственно вдоль осей Y и X;

x_0 и y_0 - расстояния в плане соответственно от точек приложения изгибающих моментов $M_x^{0,k(r_1)}$ и $M_y^{0,k(r_2)}$ до центра изгиба блока здания;

η_x^k ; η_y^k и η_{ω}^k - вычисляются в соответствии с п.п.6.4 и 6.5 настоящих указаний.

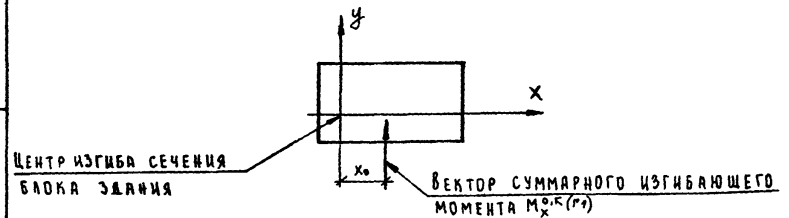


Рис.5. Схема приложения суммарного изгибающего момента $M_x^{0,k(r_1)}$ к блоку здания.

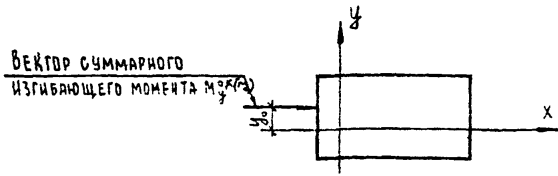


Рис.6. Схема приложения суммарного изгибающего момента $M_{\phi}^{0,k}(r_2)$ к блоку здания

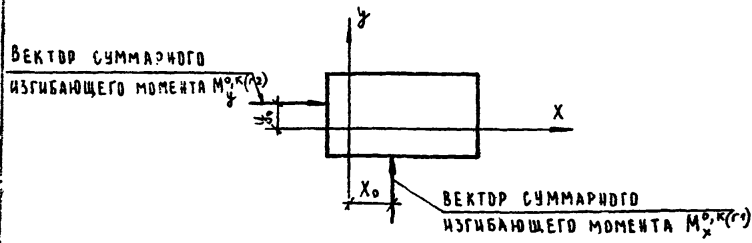


Рис.7. Схема приложения суммарных изгибающих моментов $M_{\phi}^{0,k}(r_1)$ и $M_{\phi}^{0,k}(r_2)$ к блоку здания.

Правильность распределения усилий между диафрагмами может быть проверена путем удовлетворения следующих условий:

а) при горизонтальной нагрузке, действующей только вдоль

оси Y

$$M_x^{0,k}(r_1) \eta_x = \sum_{i=1}^{i=n} M_{xi}^{k(r_1)} \quad (7.15)$$

$$\sum_{i=1}^{i=n} M_{yi}^{k(r_1)} = 0 \quad (7.16)$$

б) при горизонтальной нагрузке, действующей только вдоль

оси X

$$M_y^{0,k}(r_2) \eta_y = - \sum_{i=1}^{i=n} M_{xi}^{k(r_2)} \quad (7.17)$$

$$\sum_{i=1}^{i=n} M_{xi}^{k(r_2)} = 0 \quad (7.18)$$

в) при горизонтальной нагрузке под углом 45° к геометрическим осям здания

$$M_x^{0,k}(r_1) \eta_x^k = \sum_{i=1}^{i=n} M_{xi}^{k(r_1+r_2)} \quad (7.19)$$

$$M_y^{0,k}(r_2) \eta_y^k = \sum_{i=1}^{i=n} M_{yi}^{k(r_1+r_2)} \quad (7.20)$$

7.3. Изгибающие моменты $M_{xi}^{\Delta\Delta(6)}$ и $M_{yi}^{\Delta\Delta(6)}$, возникающие в i -ой диафрагме от действия вертикальных, как правило, длительных нагрузок, приложенных с эксцентриситетами в каждой диафрагме, определяются по формулам:

$$M_{xi}^{\Delta\Delta(6)} = M_x^{\Delta\Delta(6)} K_{yfi} \eta_x^{\Delta\Delta} + M_y^{\Delta\Delta(6)} K_{xfi} \eta_x^{\Delta\Delta} + M_w^{\Delta\Delta(6)} K_{wfi} \eta_w^{\Delta\Delta} \quad (7.21)$$

$$M_{yi}^{\Delta\Delta(6)} = M_x^{\Delta\Delta(6)} K_{yfi} \eta_y^{\Delta\Delta} + M_y^{\Delta\Delta(6)} K_{xfi} \eta_y^{\Delta\Delta} + M_w^{\Delta\Delta(6)} K_{wfi} \eta_w^{\Delta\Delta} \quad (7.22)$$

где $M_x^{\Delta\Delta(6)}$, $M_y^{\Delta\Delta(6)}$ и $M_w^{\Delta\Delta(6)}$ - суммарные дополнительные расчетные изгибающие моменты, возникающие от вертикальных нагрузок и действующие на блок здания, определяемые по формулам:

$$M_x^{\Delta\Delta(6)} = \sum_{i=1}^{i=n} N_i^{\Delta\Delta} e_{yi}^{\Delta\Delta} \quad (7.23)$$

$$M_y^{\Delta\Delta(6)} = \sum_{i=1}^{i=n} N_i^{\Delta\Delta} e_{xi}^{\Delta\Delta} \quad (7.24)$$

$$M_w^{\Delta\Delta(6)} = \sum_{i=1}^{i=n} N_i^{\Delta\Delta} e_{yi}^{\Delta\Delta} c_{xi} + \sum_{i=1}^{i=n} N_i^{\Delta\Delta} e_{xi}^{\Delta\Delta} c_{yi} \quad (7.25)$$

где $N_i^{\Delta\Delta}$ - расчетная вертикальная длительная нагрузка на i -ую диафрагму; $e_{xi}^{\Delta\Delta}$ и $e_{yi}^{\Delta\Delta}$ - эксцентриситеты приложения расчетной вертикальной длительной нагрузки в i -ой диафрагме;

№№ ПОДЛ. И ДАТА ВЗАМ. ЧЛЕНОВ

плоскость, перпендикулярную прямой, ограничивающей сжатую зону сечения, относительно оси, параллельной этой прямой и проходящей через центр тяжести наиболее растянутого стержня (или наименее сжатого);

$S_{\delta,к}$ - статический момент площади сечения сжатой зоны бетона колонн относительно оси, параллельной прямой, ограничивающей сжатую зону и проходящей через центр тяжести наиболее растянутого стержня (или наименее сжатого);

$S_{\delta,д}$ - то же, статический момент площади сечения сжатой зоны бетона диафрагмы жесткости;

$S_{\delta,вд}$ - то же, статический момент площади сечения сжатой зоны бетона вентиляционных блоков-диафрагм жесткости;

$S_{\delta i}$ - то же, статический момент площадей сечения i -го стержня сжатой (или растянутой) продольной арматуры колонн;

R_{δ} - расчетное сопротивление сжатию бетона колонн;

$R_{д}$ - расчетное сопротивление сжатию кладки из крупных сплошных блоков диафрагм жесткости, определяемое по таблице 4 СНиП II-22-81* "Каменные и армокаменные конструкции";

$R_{вд}$ - то же, из крупных вентиляционных блоков-диафрагм жесткости;

γ_c - коэффициент условий работы, отражающий снижение несущей способности горизонтального шва между диафрагмами жесткости, равный 0,8;

$\gamma_{вд}$ - коэффициент условий работы, отражающий снижение несущей способности горизонтального шва между вентиляционными блоками-диафрагмами жесткости, равный: 0,35 - для блоков без проемов и 0,45 - для блоков с проемами;

k - число арматурных стержней в сечении колонн;

$\sigma_{\delta i}$ - напряжение в i -ом арматурном стержне колонн, определяемое в соответствии с п.8.3 настоящих указаний и п.3.28 СНиП 2.03.01-84.

8.3. Высота сжатой зоны бетона диафрагмы и напряжения в арматурных стержнях определяются из совместного решения уравнений:

$$R_{\delta} \cdot A_{\delta,к} + \gamma_c R_{д} \cdot A_{\delta,д} + \gamma_{вд} R_{вд} \cdot A_{\delta,вд} - \sum_{i=1}^{i=k} \sigma_{\delta i} A_{\delta i} - N_{д} = 0; \quad (8.2)$$

$$\sigma_{\delta i} = \frac{\sigma_{sc,u}}{1 - \frac{\omega}{1,1}} \left(\frac{\omega}{\xi_i} - 1 \right) \quad (8.3)$$

Количество уравнений (8.3) равно количеству арматурных стержней в колоннах диафрагмы.

Условные обозначения в уравнении (8.2):

$R_{\delta}; R_{д}; R_{вд}; \gamma_c; \gamma_{вд}; \sigma_{\delta i}; k$ - см. п.8.1 настоящих указаний;
 $A_{\delta,к}; A_{\delta,д}; A_{\delta,вд}$ - площади сечения сжатой зоны бетона соответственно колонна, диафрагм жесткости, вентиляционных блоков-диафрагм жесткости;

$A_{\delta i}$ - площадь сечения i -го стержня продольной арматуры колонн;

$N_{д}$ - расчетное сжимающее усилие в диафрагме.

$$\omega = \alpha - 0,0008 R_{\delta} \quad (8.4)$$

$$\xi_i = \frac{x}{h_{0i}} \quad (8.5)$$

$\sigma_{sc,u}$ - предельное напряжение в арматуре сжатой зоны;

Инв. № подл. / Подпись и дата ВЗАН. ИВ. №

h_{oi} - расстояние от оси, проходящей через центр тяжести сечения i -го стержня и параллельной прямой, ограничивающей сжатую зону, до наиболее удаленной точки сжатой зоны сечения.

При этом, в соответствии с п.3.28 СНиП 2.03.01-84 для определения положения границы сжатой зоны требуется, чтобы точки приложения внешней продольной силы, равнодействующей сжимающих усилий в бетоне и арматуре и равнодействующей усилий в растянутой арматуре лежали на одной прямой.

8.4. Проверку прочности диафрагмы на сдвиг в вертикальных швах между сборными элементами рекомендуется производить из условия

$$\Delta T_{ЭТ} \leq \Delta T_{ЭТ}^{нс}, \quad (8.6)$$

где

$\Delta T_{ЭТ}^{нс}$ - суммарная несущая способность соединительных изделий в вертикальном шве между сборными элементами диафрагмы в пределах одного этажа;

$\Delta T_{ЭТ}$ - расчетная сдвигающая сила, действующая в вертикальных швах между сборными элементами диафрагмы в пределах одного этажа.

$\Delta T_{ЭТ}$ рекомендуется определять:

а) при изгибе диафрагмы в плоскости, проходящей через ось Y , по формуле

$$\Delta T_{ЭТ} = \gamma_T \left[\Delta M_y^{ЭТ} \frac{\bar{A}_{red} \cdot e_y}{B_{yi}} \pm \Delta N_{ЭТ} \left(\frac{\bar{A}_{red}}{A_i} - \frac{\Delta \bar{N}_{ЭТ}}{N_A} \right) \right]; \quad (8.7)$$

б) при изгибе диафрагмы в плоскости, проходящей через ось X , по формуле

$$\Delta T_{ЭТ} = \gamma_T \left[\Delta M_y^{ЭТ} \frac{\bar{A}_{red} \cdot e_x}{B_{yi}} \pm \Delta N_{ЭТ} \left(\frac{\bar{A}_{red}}{A_i} - \frac{\Delta \bar{N}_{ЭТ}}{N_A} \right) \right]; \quad (8.8)$$

в) при изгибе диафрагмы в двух плоскостях по формуле

$$\Delta T_{ЭТ} = \gamma_T \left[\Delta M_y^{ЭТ} \frac{\bar{A}_{red} \cdot e_x}{B_{yi}} + \Delta M_x^{ЭТ} \frac{\bar{A}_{red} \cdot e_y}{B_{xi}} \pm \Delta N \left(\frac{\bar{A}_{red}}{A_i} - \frac{\Delta \bar{N}_{ЭТ}}{N_A} \right) \right], \quad (8.9)$$

где

$\Delta M_x^{ЭТ}$ и $\Delta M_y^{ЭТ}$ - приращения расчетных изгибающих моментов, возникающих в диафрагме в пределах высоты этажа, относительно соответственно осей Y и X ;

N_A - см. раздел 8.3 настоящих указаний;

$\Delta N_{ЭТ}$ - полное приращение расчетной продольной сжимающей силы в диафрагме в пределах одного этажа;

$\Delta \bar{N}_{ЭТ}$ - приращение расчетной продольной сжимающей силы в пределах одного этажа, приходящееся на условно отсеченную рассматриваемым вертикальным швом часть диафрагмы (см. рис.8);

e_x и e_y - расстояния от центра тяжести сечения диафрагмы до центра тяжести условно отсеченной части диафрагмы вдоль соответственно осей X и Y ;

$B_{x_i}^{уд}$, $B_{y_i}^{уд}$ и $A_i^{уд}$ - определяются соответственно по формулам (3.25), (3.26) и (3.28);

$\bar{A}^{уд}$ - приведенная жесткость на сжатие условно отсеченной части диафрагмы рассматриваемым вертикальным швом;

γ_T - коэффициент условий работы, учитывающий уменьшение сдвигающих усилий вследствие податливости соединений. Определяется в соответствии с формулой (168) "Рекомендаций по расчету каркасно-панельных общественных зданий с применением ЭВМ", ЦНИИЭП торговых зданий, М., Стройиздат, 1986:

$$\gamma_T = \frac{\beta - 0,45}{\beta - 0,15}, \quad (8.10)$$

где: β - определяется в соответствии с п.3.4 настоящих указаний.

В формулах (8.7), (8.8) и (8.9) знак "плюс" принимается в случае, если условно отсеченная часть диафрагмы расположена справа от вертикального шва.

Суммарная несущая способность соединительных изделий в вертикальном шве между сборными элементами диафрагмы определяется путем оценки несущей способности на срез сварных швов, которыми эти соединительные изделия привариваются к закладным изделиям, установленным в сборных элементах диафрагм.

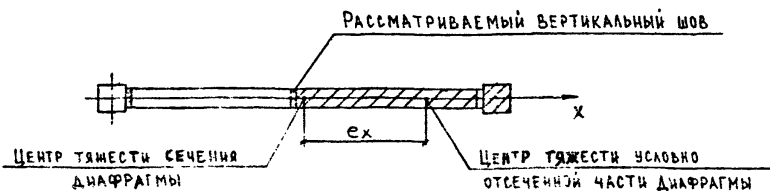


Рис.8 Схематический план сечения диафрагмы к определению сдвигающих сил в вертикальных швах (заштрихована условно отсеченная часть диафрагмы).

1034.1-1/90.0-1-1.8Д

АНСТ
6

8.5. Проверку прочности диафрагмы на сдвиг по горизонтальному шву рекомендуется производить по формуле

$$Q \leq \gamma_{\tau_3} \cdot f N_A^{min} + \sum_k^m \tau A_k; \quad (8.11)$$

где

Q - расчетная поперечная сила, вызванная действием горизонтальных и вертикальных нагрузок в горизонтальном сечении диафрагмы;

N_A^{min} - продольная сжимающая сила в диафрагме. Принимается минимальное значение в соответствии с п.2.4 настоящих указаний;

f - коэффициент трения, принимаемый по таблице I7 СНиП П-22-83 п.1, т.е. $f = 0,6$ при влажном состоянии поверхности; $f = 0,7$ при сухом состоянии поверхности;

γ_{τ_3} - коэффициент условий работы, принимаемый $\gamma_{\tau_3} = 0,85$;

τ - сопротивление бетона срезу, принимаемое равным R_{bt} ;

A_k - площадь сечения колонны;

m - число колонн, входящих в состав диафрагмы.

Расчетным сечением для проверки прочности диафрагмы на сдвиг по горизонтальному сечению, как правило, является горизонтальный стык в уровне пола верхнего этажа (при N_A^{min}).

8.6. Проверку прочности на сжатие отдельного вентиляционного блока-диафрагмы жесткости, выполненного в виде сборного железобетонного элемента высотой в этаж, рекомендуется производить по горизонтальному шву между сборными элементами по формуле

$$N \leq \gamma_{\beta d} \cdot R_{\beta d} \cdot A_{\beta d}, \quad (8.12)$$

где

$\gamma_{\beta d}$ - коэффициент условий работы, принимаемый в соответствии с п.8.2 настоящих указаний;

$R_{\beta d}$ - см. п.8.2;

1.034.1-1/90.0-1-1.8Д

АНСТ
7

$A_{\ell, \text{вд}}$ - площадь сжатой зоны бетона вентиляционного блока-диафрагмы жесткости, определяемая из условия, что ее центр тяжести совпадает с точкой приложения равнодействующей внешних сил.

Для блоков прямоугольной формы сечения $A_{\ell, \text{вд}}$ определяется по формуле

$$A_{\ell, \text{вд}} = F_{\text{нетто}} \left(1 - \frac{2e_0 \eta}{h_{\text{вд}}} \right), \quad (8.13)$$

где

$F_{\text{нетто}}$ - площадь сечения вентиляционного блока-диафрагмы жесткости за вычетом пустот;

e_0 - эксцентриситет приложения вертикальной нагрузки, определяемый в соответствии с указаниями настоящего пункта;

$h_{\text{вд}}$ - высота сечения вентиляционного блока-диафрагмы жесткости;

η - коэффициент, учитывающий влияние прогиба на значение эксцентриситета продольного усилия e_0 , определяемый по формуле

$$\eta = \frac{1}{1 - \frac{\sum N_{\text{эт}}}{N_{\text{кр}}}}; \quad (8.14)$$

$\sum N_{\text{эт}}$ - суммарная расчетная вертикальная нагрузка от собственного веса вышерасположенных вентиляционных блоков-диафрагм жесткости и полной нагрузки от перекрытий вышележащих этажей (постоянной и временной) по отношению к рассматриваемому сечению;

$N_{\text{кр}}$ - критическая сила, определяемая по формуле (20)

СНИП 2.03.01-84:

$$N_{\text{кр}} = \frac{6,4 E \ell \gamma}{\gamma_e \ell_0^2} \left(\frac{0,11}{0,1 + \delta_e} + 0,1 \right); \quad (8.15)$$

где

γ_e - коэффициент, учитывающий влияние длительного действия на-

грузки. $\gamma_e = 1$ для тяжелого бетона при длительных воздействиях;

ℓ_0 - принимается равным высоте этажа;

δ_e - коэффициент, принимаемый наибольшему значению из:

$$a) \delta = \frac{e_0}{h_{\text{вд}}}$$

$$b) \delta_{e, \text{min}} = 0,5 - 0,01 \frac{\ell_0}{h_{\text{вд}}} - 0,01 R_b, \text{ где } R_b - \text{ в МПа.}$$

В вентиляционных блоках-диафрагмах жесткости возможны два варианта приложения нагрузки:

- эксцентричное приложение вертикальной нагрузки в одно- и двух-консольных вентиляционных блоках-диафрагмах жесткости;
- центральное приложение вертикальной нагрузки в бесконсольных вентиляционных блоках-диафрагмах жесткости.

В вентиляционных блоках-диафрагмах жесткости с эксцентричным приложением вертикальной нагрузки значения эксцентриситета рекомендуется определять по формуле

$$e_0 = \frac{N'_{\text{эт}} \cdot e}{\sum N'_{\text{эт}}}, \quad (8.16)$$

где

$N'_{\text{эт}}$ - расчетная вертикальная нагрузка от междуэтажного перекрытия, расположенного над непосредственно рассматриваемым сечением:

в одноконсольных вентиляционных блоках-диафрагмах жесткости равна сумме кратковременных и длительно действующих нагрузок; передающихся на консоль; в двухконсольных - равна разности кратковременных и длительно действующих нагрузок, передающихся на обе консоли;

e - эксцентриситет приложения нагрузки $N'_{\text{эт}}$, определяемый по формуле

$$e = \frac{h_{\text{вд}}}{2} - \frac{2}{3} \ell_x \quad (8.17)$$

где
 l_k - высота консоли.

В вентиляционных блоках-диафрагмах жесткости с центральным приложением вертикальной нагрузки (при $e = 0$) значения эксцентриситета e_0 принимаются равными значениям случайного эксцентриситета e_a в соответствии с п.1.21 СНиП 2.03.01-84.

Ниже приводится пример определения несущей способности на сжатие I пог.м вентиляционного блока-диафрагмы жесткости по горизонтальному шву.

Дано: одноконсольный вентиляционный блок-диафрагма жесткости ИВД 33.15.26 с высотой сечения $h_{вд} = 26,0$ см $l_k = 12,5$ см, выполненный из бетона класса В25 $E_b = 275000 \frac{кгс}{см^2}$ $R_b = 14,5$ МПа, устанавливаемый в здании высотой этажа $l_0 = 3,3$ м. $N_{ст}^I = 5,085$ тс; $\sum N_{тс} = 90,0$ тс.

$$\gamma_c = 1; \quad \gamma = \frac{148,0 \times 26,0^3}{12} - 6 \times \frac{\pi \times 15,9^4}{64} = 197947 \text{ см}^4;$$

Вычисляем эксцентриситет e_0 :

$$a) \quad e_0 = \frac{N_{ст} \cdot e}{\sum N_{ст}}; \quad (8.16)$$

$$e = \frac{h_{вд}}{2} + \frac{2}{3} l_k \quad (8.17)$$

$$e = \frac{26,0}{2} + \frac{2}{3} \times 12,5 = 21,33 \text{ см};$$

$$e_0 = \frac{5,085 \times 10^3 \times 21,33}{90,0 \times 10^3} = 1,21 \text{ см};$$

$$б) \quad e_0 = e_a = \frac{l_0}{600} = \frac{330}{600} = 0,55 \text{ см};$$

$$в) \quad e_0 = e_a = \frac{h_{вд}}{30} = \frac{26,0}{30} = 0,87 \text{ см}$$

Максимальное значение $e_0 = 1,21$ см.

Вычисляем коэффициент δ_e :

$$a) \quad \delta_e = \frac{e_0}{h_{вд}} = \frac{1,21}{26,0} = 0,047;$$

$$б) \quad \delta_{e, \text{мин}} = 0,5 - 0,01 \frac{l_0}{h_{вд}} - 0,01 R_b = \\ = 0,5 - 0,01 \times \frac{330,0}{26,0} - 0,01 \times 14,5 = 0,228;$$

Принимаем максимальное значение $\delta_e = 0,228$.

$$N_{сж} = \frac{6,4 E_b J}{\gamma_e l_0^2} \left(\frac{0,11}{0,1 + \delta_e} + 0,1 \right); \quad (8.15)$$

$$N_{сж} = \frac{6,4 \times 275000 \times 197947}{1 \times 330,0^2 \times 10^5} \times \left(\frac{0,11}{0,1 + 0,228} + 0,1 \right) = 1392,8 \text{ тс.}$$

$$\eta = \frac{1}{1 - \frac{\sum N_{ст}}{N_{сж}}}; \quad (8.14)$$

$$\eta = \frac{1}{1 - \frac{90,0}{1392,8}} = 1,069;$$

$$A_{вд} = F_{\text{нетто}} \left(1 - \frac{2 e_0 \eta}{h_{вд}} \right); \quad (8.13)$$

$$A_{вд} = \left(148,0 \times 26,0 - 6 \times \frac{\pi \times 15,9^3}{4} \right) \times \left(1 - \frac{2 \times 1,21 \times 1,069}{26,0} \right) = 2394,0 \text{ см}^2$$

$$R_{вд} = 84,0 \frac{кгс}{см^2} \quad (\text{при растворе М200 и блоках марки М350 см. табл.4 СНиП II-22-81**})$$

$$\gamma_{вд} = 0,35 \text{ (см. п.8.2)}$$

Вертикальная нагрузка, приходящаяся на блок длиной 1,48 м:

$$N = \gamma_{вд} \cdot R_{вд} \cdot A_{вд}; \quad (8.12)$$

$$N = 0,35 \times 84,0 \times 2394,0 \times 10^{-3} = 70,4 \text{ тс.}$$

Вертикальная нагрузка, которую допускается приложить к I пог.м вентиляционного блока-диафрагмы жесткости:

$$N_{\text{пог.м}} = \frac{70,4}{1,48} = 47,5 \frac{\text{тс}}{\text{п.м.}}$$

9. ОЦЕНКА ДЕФОРМАТИВНОСТИ БЛОКА ЗДАНИЯ ПРИ ГОРИЗОНТАЛЬНЫХ И ВЕРТИКАЛЬНЫХ ВОЗДЕЙСТВИЯХ.

9.1. Критерием оценки деформативности несущей системы блока здания по предельным состояниям второй группы является результат сравнения наибольшего перемещения f_A какой-либо точки А, расположенной в уровне вершины блока здания с предельно допустимой величиной, равной $1/500 H_1$, где H_1 - высота блока здания с учетом подвала (см. п.10.14 таблица 22 СНиП 2.01.07-85. Дополнения.).

Перемещение f_A какой-либо точки А, расположенной в уровне вершины блока здания, определяется как геометрическая сумма его проекций $f_{x1}(A)$ и $f_{y1}(A)$ на две взаимно перпендикулярные плоскости, проходящие через главные центральные оси инерции XI и UI сечения блока здания, по формуле

$$f_A = \sqrt{(f_{x1}(A))^2 + (f_{y1}(A))^2} \quad (9.1)$$

Проекция перемещения $f_{x1}(A)$ (или $f_{y1}(A)$) складывается из двух составляющих - проекции поступательного перемещения f_{x1}^{max} (или f_{y1}^{max}) центра изгиба вершины блока здания и проекции перемещения точки А, вызванного закручиванием блока здания на угол θ вокруг центра изгиба. Указанные проекции перемещения определяются относительно главных центральных осей инерции XI и UI по формулам:

$$f_{x1}(A) = f_{x1}^{max} + [Y1(A) - Y1(ц.изг)] \operatorname{tg} \theta; \quad (9.2)$$

$$f_{y1}(A) = f_{y1}^{max} + [X1(A) - X1(ц.изг)] \operatorname{tg} \theta, \quad (9.3)$$

где f_{x1}^{max} и f_{y1}^{max} - определяются в соответствии с указаниями п.9.2; θ - определяется в соответствии с указаниями п.9.3;

$X1(ц.изг)$ и $Y1(ц.изг)$ - координаты центра изгиба блока здания относительно главных центральных осей инерции XI и UI;

$X1(A)$ и $Y1(A)$ - координаты точки А сечения блока здания в уровне его вершины относительно главных центральных осей инерции XI и UI, определяемые по формулам:

$$X1(A) = X(A) \cdot \cos \delta_A + Y(A) \cdot \sin \delta_A; \quad (9.4)$$

$$Y1(A) = Y(A) \cdot \cos \delta_A - X(A) \cdot \sin \delta_A; \quad (9.5)$$

где $X(A)$ и $Y(A)$ - координаты точки А сечения блока здания в уровне его вершины относительно осей X и Y;

δ_A - определяется по формуле (4.13).

9.2. Проекция поступательного перемещения f_{x1}^{max} (или f_{y1}^{max}) центра изгиба вершины блока здания определяются по формулам:

$$f_{x1}^{max} = f_{x1}^{изг} + f_{x1}^{осн}; \quad (9.6)$$

$$f_{y1}^{max} = f_{y1}^{изг} + f_{y1}^{осн}; \quad (9.7)$$

где $f_{x1}^{изг}$ и $f_{y1}^{изг}$ - определяются в соответствии с указаниями п.9.4;

$f_{x1}^{осн}$ и $f_{y1}^{осн}$ - определяются в соответствии с указаниями п.9.6.

9.3. Для вычисления перемещений какой-либо точки А, вызванных закручиванием блока здания, необходимо определить полный угол закручивания θ вокруг центра изгиба вершины блока здания как сум-

ИНВ. № ПОЛ. ПОДПИСЬ И ДАТА

ПОДПИСЬ И ДАТА	БЗАР. ИВВ. №	1.034.1-1/90.0-1-1.9А	
НАЧ. ОТА	ШАХОВА	Оценка деформативности блока здания при горизонтальных и вертикальных воздействиях	Лист 11
ЛИН. ОТА	ПЕТРОВ	ЦНИИЭП УЧЕБНЫХ ЗДАНИЙ	
БЕД. ИНЫ	ЖЕРАЕВА		
ИНН ШКАТ	ДЕСЯТОВА		

ИНВ. № ПОЛ. ПОДПИСЬ И ДАТА

ПОДПИСЬ И ДАТА	БЗАР. ИВВ. №	1.034.1-1/90.0-1-1.9А	
			Лист 12

му, состоящую из угла $\theta^{изг}$, образующегося в результате изгибно-крутильных деформаций несущих конструкций блока здания, и угла $\theta^{ск}$, образующегося в результате крутильных деформаций оснований под фундаментами диафрагм блока здания, по формуле

$$\theta = \theta^{изг} + \theta^{ск} \quad (9.8)$$

9.4. Поступательные перемещения $f_{x1}^{изг}$ (или $f_{y1}^{изг}$), вызванные изгибными деформациями (прогибами) центра изгиба вершины блока здания от совместного действия горизонтальных и вертикальных нагрузок рекомендуется определять с учетом геометрической и физической нелинейностей (без использования эмпирических коэффициентов продольного изгиба λ_x и λ_y).

Для определения поступательных перемещений $f_{x1}^{изг}$ (или $f_{y1}^{изг}$) с учетом геометрической нелинейности рекомендуется пользоваться таблицей 2 настоящих указаний, где приведены формулы для вычисления поступательных перемещений (прогибов) сжато-изогнутого консольного стержня с учетом геометрической нелинейности безотносительно к плоскости, в которой происходит его деформация.

Чтобы воспользоваться этими формулами для определения пространственных поступательных перемещений консольного стержня, необходимо вычислить по отдельности их проекции на плоскости, проходящие через главные центральные оси инерции XI и YI.

Для вычисления перемещений $f_{x1}^{изг}$ вдоль оси XI в формулы таблицы 2 подставляются вместо D, q, W, M соответственно D_{x1} , q_{x1} , W_{x1} , M_{x1} .

Для вычисления перемещений $f_{y1}^{изг}$ вдоль оси YI - вместо D, q, W, M соответственно D_{y1} , q_{y1} , W_{y1} , M_{y1} .

Поступательные перемещения от совместного действия вертикальных и горизонтальных нагрузок. Таблица 2

№ схем	Расчетная модель сооружения	Поступательные перемещения (прогибы) вершины сооружения
1		$\frac{qh}{N} \left(\sqrt{\frac{D}{N}} \operatorname{tg} \frac{h}{\sqrt{\frac{D}{N}}} - \frac{h}{2} \right) - \frac{qD}{N^2} \left(\sec \frac{h}{\sqrt{\frac{D}{N}}} - 1 \right)$
2		$\frac{q(h-B)}{N} \left[\sqrt{\frac{D}{N}} \operatorname{tg} \frac{h}{\sqrt{\frac{D}{N}}} - \frac{(h+B)}{2} \right] + \frac{qD}{N^2} \left[\sin \frac{B}{\sqrt{\frac{D}{N}}} \operatorname{tg} \frac{h}{\sqrt{\frac{D}{N}}} + \cos \frac{B}{\sqrt{\frac{D}{N}}} - \sec \frac{h}{\sqrt{\frac{D}{N}}} \right]$
3		$\frac{q(B_1-B_2)}{N} \left[\sqrt{\frac{D}{N}} \operatorname{tg} \frac{h}{\sqrt{\frac{D}{N}}} - \frac{(B_1+B_2)}{2} \right] + \frac{qD}{N^2} \left[\left(\sin \frac{B_1}{\sqrt{\frac{D}{N}}} - \sin \frac{B_2}{\sqrt{\frac{D}{N}}} \right) \operatorname{tg} \frac{h}{\sqrt{\frac{D}{N}}} + \left(\cos \frac{B_1}{\sqrt{\frac{D}{N}}} - \cos \frac{B_2}{\sqrt{\frac{D}{N}}} \right) \right]$
4		$\frac{W}{N} \left(\sqrt{\frac{D}{N}} \operatorname{tg} \frac{h}{\sqrt{\frac{D}{N}}} - h \right)$
5		$\frac{M}{N} \left(\sec \frac{h}{\sqrt{\frac{D}{N}}} - 1 \right)$

ИЗД. № ПОДА. ПОДАНО В ДАТА. ВЗЯМ. ЧИСЛ. ЛИ.

1.034.1 - 1/90.0-1-1.9A

Лист

3

ФОРМАТ А4

1.034.1 - 1/90.0-1-1.9A

Лист

4

24451 30

ФОРМАТ А4

Эпюра интенсивности суммарной нормативной горизонтальной нагрузки q_{x1} (или q_{y1}), имеющая переменные значения по высоте здания при совместном воздействии горизонтальной и вертикальной нагрузки и при условии постоянства действия вертикальной нагрузки N^H , что обуславливает применимость метода наложения (принципа независимости действия сил), разделяется на составляющие (см.рис.9) что позволяет использовать формулы таблицы 2 (схемы № 1,2 и 3).

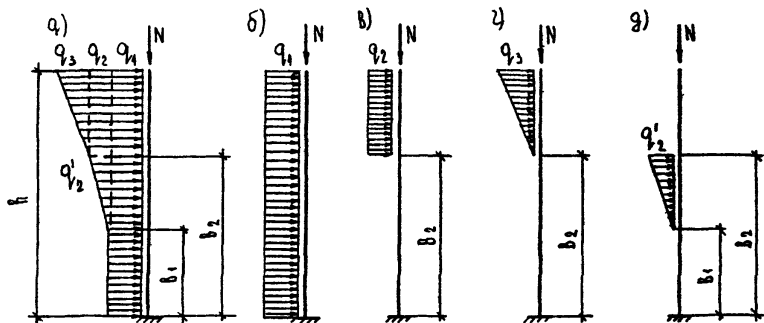


Рис.9. Схема разделения эпюры интенсивности суммарной нормативной горизонтальной нагрузки q на составляющие q_1 , q_2 , q_3 и q_2' .
 а - эпюра q ; б - эпюра q_1 ; в - эпюра q_2 ;
 г - эпюра q_3 ; д - эпюра q_2'

При этом треугольные составляющие интенсивности поперечной нагрузки с ее максимальными значениями q_3 и q_2' (см. рис.9 "г" и "д") с достаточной для практических расчетов точностью допускается заменить эквивалентной равномерно распределенной нагрузкой соответственно:

$$q_3^{экв} = 0,65 q_3; \quad q_2'^{экв} = 0,65 q_2'$$

Влияние физической нелинейности рекомендуется учитывать с помощью коэффициента γ_{62} , определяемого по таблице 34 СНиП 2.03.01-84. Для этого в формулы, помещенные в таблицу 2 настоящих указаний, вместо N подставляем N^H , определяемое по формуле

$$N^H = N_K^H + \gamma_{62} N_{\Delta\Delta}^H, \quad (9.9)$$

где

N_K^H и $N_{\Delta\Delta}^H$ - суммарные нормативные вертикальные нагрузки, действующие на блок здания.

Методика вычисления нормативных поперечных воздействий, изображенных на схемах I...5 в таблице 2, изложена в п.9.5 настоящих указаний.

9.5. Внешние нормативные поперечные воздействия (интенсивности q_{x1} и q_{y1} , сосредоточенные силы W_{x1} и W_{y1} , векторы сосредоточенных изгибающих моментов M_{y1} и M_{x1}) вычисляются как проекции на плоскости, проходящие через главные центральные оси инерции соответственно XI и VI, по формулам:

а) при односторонних воздействиях вдоль оси X (см.рис.10)

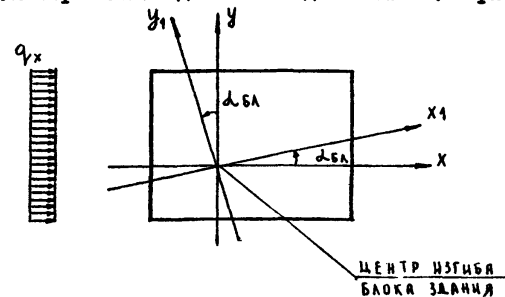


Рис.10. Схема приложения односторонней нагрузки q_x вдоль оси X

ИНВ. № ПОДЛ. ПОДПИСЬ И ДАТА ВЗАМ. ИНВ. №

ИНВ. № ПОДЛ. ПОДПИСЬ И ДАТА ВЗАМ. ИНВ. №

- для интенсивностей q_{x1} и q_{y1}
(схемы 1, 2 и 3 табл.2)

$$q_{x1} = q_x \cos \alpha_{бл}; \quad (9.10)$$

$$q_{y1} = -q_x \sin \alpha_{бл}; \quad (9.11)$$

- для сосредоточенных сил W_{x1} и W_{y1}
(схема 4 табл.2)

$$W_{x1} = W_x \cos \alpha_{бл}; \quad (9.12)$$

$$W_{y1} = -W_x \sin \alpha_{бл}; \quad (9.13)$$

- для векторов сосредоточенных изгибающих моментов M_{y1} и M_{x1}
(схема 5 табл.2)

$$M_{y1} = M_y \cos \alpha_{бл}; \quad (9.14)$$

$$M_{x1} = -M_y \sin \alpha_{бл}. \quad (9.15)$$

б) при односторонних воздействиях вдоль оси Y (см. рис. II)

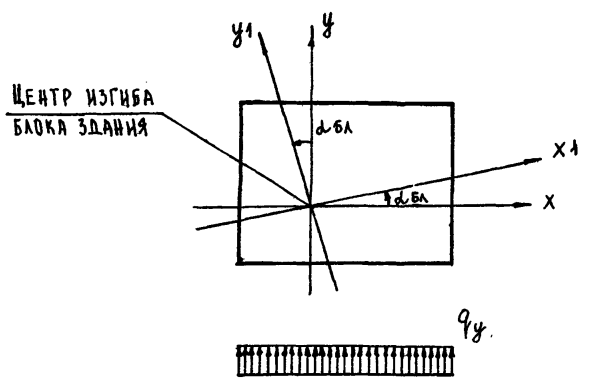


Рис. II. Схема приложения односторонней нагрузки q_y вдоль оси Y.

1.034.1 - 1/90.0-1-1.9Д	Лист
	7

- для интенсивностей q_{x1} и q_{y1}
(схемы 1, 2 и 3 табл.2)

$$q_{x1} = q_y \sin \alpha_{бл}; \quad (9.16)$$

$$q_{y1} = q_y \cos \alpha_{бл}; \quad (9.17)$$

- для сосредоточенных сил W_{x1} и W_{y1}
(схема 4 табл.2)

$$W_{x1} = W_y \sin \alpha_{бл}; \quad (9.18)$$

$$W_{y1} = W_y \cos \alpha_{бл}; \quad (9.19)$$

- для векторов сосредоточенных изгибающих моментов M_{y1} и M_{x1}
(схема 5 табл.2)

$$M_{y1} = M_x \sin \alpha_{бл}; \quad (9.20)$$

$$M_{x1} = M_x \cos \alpha_{бл}. \quad (9.21)$$

в) при двухсторонних воздействиях соответственно вдоль осей X и Y
(см. рис. I2)

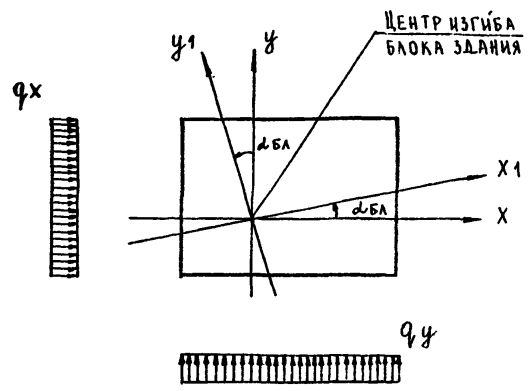


Рис. I2. Схема приложения двухсторонних нагрузок q_x и q_y вдоль соответственно осей X и Y.

1.034.1 - 1/90.0-1-1.9Д	Лист
	8

ИВВ № 1
ИВВ № 2
ИВВ № 3
ИВВ № 4
ИВВ № 5
ИВВ № 6
ИВВ № 7
ИВВ № 8
ИВВ № 9
ИВВ № 10

ИВВ № ПОДЛ. ПОДАТЬСЯ И ДАТА ВЗАМ. ИВВ №

- для интенсивностей q_{x1} и q_{y1}
(схемы 1, 2 и 3 табл. 2)

$$q_{x1} = q_x \cos \alpha_{бл} + q_y \sin \alpha_{бл}; \quad (9.22)$$

$$q_{y1} = q_y \cos \alpha_{бл} - q_x \sin \alpha_{бл}, \quad (9.23)$$

- для сосредоточенных сил W_{x1} и W_{y1}
(схема 4 табл. 2)

$$W_{x1} = W_x \cos \alpha_{бл} + W_y \sin \alpha_{бл}; \quad (9.24)$$

$$W_{y1} = W_y \cos \alpha_{бл} - W_x \sin \alpha_{бл}, \quad (9.25)$$

- для векторов сосредоточенных изгибающих моментов M_{y1} и M_{x1}
(схема 5 табл. 2)

$$M_{y1} = M_y \cos \alpha_{бл} + M_x \sin \alpha_{бл}; \quad (9.26)$$

$$M_{x1} = M_x \cos \alpha_{бл} - M_y \sin \alpha_{бл}, \quad (9.27)$$

9.6. Поступательные перемещения $f_{x1}^{осн}$ (или $f_{y1}^{осн}$) центра изгиба вершины блока здания относительно главных центральных осей инерции X_1 (или Y_1), вызванные податливостью оснований под подошвами фундаментов, определяются по формулам:

$$f_{x1}^{осн} = f_x^{осн} \cos \alpha_{бл} + f_y^{осн} \sin \alpha_{бл}; \quad (9.28)$$

$$f_{y1}^{осн} = f_y^{осн} \cos \alpha_{бл} - f_x^{осн} \sin \alpha_{бл}, \quad (9.29)$$

где

$f_x^{осн}$ и $f_y^{осн}$ - поступательные перемещения, вызванные податливостью оснований под подошвами фундаментов соответственно вдоль осей X и Y , совпадающих с разбивочными осями блока здания, определяемые по формулам

$$f_x^{осн} = M_y^{\Phi} \frac{H_{\Phi}}{R_x}; \quad (9.30)$$

$$f_y^{осн} = M_x^{\Phi} \frac{H_{\Phi}}{R_y}, \quad (9.31)$$

где

M_x^{Φ} и M_y^{Φ} - нормативные значения суммарных изгибающих моментов, вычисленные в уровне подошвы фундаментов соответственно по формулам (6.1) и (6.2). При этом горизонтальную ветровую нагрузку следует принимать в размере 30% нормативного значения (см. СНиП 2.01.07-85. Дополнения, п.10.14);

H_{Φ} - высота блока здания от уровня подошвы фундаментов до перекрытия верхнего этажа;

R_x и R_y - определяются соответственно по формулам (5.5) и (5.6)

9.7. Угол закручивания центра изгиба вершины блока здания $\theta^{зкр}$, вызванный изгибно-крутильными деформациями блока здания под воздействием горизонтальных и вертикальных нагрузок, определяется по формуле

$$\theta^{зкр} = \frac{H_1^2}{4} \left[\frac{(M_x^{\Phi} y_0 + M_y^{\Phi} x_0)}{D_w} \eta_w^{\kappa} + \frac{(M_x^{\Phi \Delta \Delta} y_0 + M_y^{\Phi \Delta \Delta} x_0)}{D_w} \eta_w^{\Delta \Delta} \right] + \frac{H_1^2}{3} \left[\frac{\sum_{i=1}^{i=n} N_i^{\kappa} (e_{yi}^{\kappa} c_{yi} + e_{xi}^{\kappa} c_{xi})}{D_w} \eta_w^{\kappa} \beta_2 + \frac{\sum_{i=1}^{i=n} N_i^{\Delta \Delta} (e_{yi}^{\Delta \Delta} c_{yi} + e_{xi}^{\Delta \Delta} c_{xi})}{D_w} \eta_w^{\Delta \Delta} \beta_2 \right], \quad (9.32)$$

где
 D_w - определяется по формуле (4.10);
 H_1 - высота блока здания с учетом подвала;
 γ_{t2} - коэффициент, учитывающий ползучесть бетона при кратковременных и длительно действующих нагрузках и определяемый по таблице 34 СНиП 2.03.01-84;
 - остальные условные обозначения - см. п.5.2 настоящих указаний.

9.8. Угол закручивания центра изгиба вершины блока здания θ^{00} , вызванный податливостью оснований под подошвами фундаментов диафрагм, определяется по формуле

$$\theta = M_{\Sigma}^0 \frac{H_{\Phi}}{R_{\Phi}}, \quad (9.33)$$

где
 M_{Σ}^0 - нормативный суммарный изгибно-крутильный момент от действия вертикальных и горизонтальных нагрузок, определяемый в уровне подошвы фундаментов диафрагм, по формуле (6.3). При этом горизонтальную ветровую нагрузку следует принимать в размере 30% нормативного значения (см. СНиП 2.01.07-85. Дополнения, п.10.14);
 H_{Φ} - см. раздел 9.6 настоящих указаний;
 R_{Φ} - определяется по формуле (5.7).

1.034.1-1/90.0-1-1.9Д Лист 11

10. УЧЕТ ТЕМПЕРАТУРНО-КЛИМАТИЧЕСКИХ ВОЗДЕЙСТВИЙ.

10.1 Перемещения Δl от температурно-климатических воздействий, вызывающие дополнительные горизонтальные усилия в рассматриваемой диафрагме блока здания, определяются по формуле

$$\Delta l = \alpha_{lt} \Delta t \frac{l}{2}, \quad (10.1)$$

где
 α_{lt} - коэффициент линейной температурной деформации. Для конструкций из тяжелого бетона $\alpha_{lt} = 1 \times 10^{-5} \text{ } ^\circ\text{C}^{-1}$;
 Δt - нормативные значения изменений (перепад) средних температур по сечению диска перекрытия, определяемые в соответствии с пп.8.2...8.7 СНиП 2.01.07-85;
 $l/2$ - расстояние между серединой блока здания и рассматриваемой диафрагмой в одном направлении (X или Y).

Усилия в диафрагмах, вызванные определенными по формуле (10.1) перемещениями Δl от температурно-климатических воздействий, определяются с помощью методов строительной механики статически неопределимых систем, состоящих из диафрагм и дисков перекрытий.

В случаях, когда значения усилий, вызванные температурно-климатическими воздействиями, превышают несущую способность диафрагм, может быть рекомендовано устройство температурно-усадочных швов в уровне междуэтажных перекрытий по периметру диафрагмы. Шов по вертикали между диафрагмой и опирающимися

ИМВ № ПДАА Подпись и дата Взам. инв. №

		1.034.1-1/90.0-1-1.10Д			
ИМВ ОТД	ШАГОВА	Учет температурно-климатических воздействий	СТАДИИ	ЛИСТ	ЛИСТОВ
ИМВ ИИИ	ПЕТРОВ		Р	1	3
ИМВ ИИИ	ЖЕРАБОВА		ЦНИИЭП		
ИМВ ИИИ	ДЕСЯТОВА		УЧЕБНЫХ ЗДАНИЙ		

на нее (или примыкающими к ней) элементами принимается равным величине Δt , определяемой по формуле (10.1) в зависимости от конкретных параметров Δt и L . Пространство этого шва по вертикали рекомендуется заполнять упругой прокладкой (во избежание попадания в него при возведении мусора, раствора и т.п.). Ригели и плиты перекрытий, опирающиеся на диафрагму, должны устанавливаться "насухо" (без раствора); взамен раствора под этими конструкциями устраивается прокладка толщиной 10 мм (из фторопласта или других строительных материалов). Конструкции диафрагмы также не должны быть связаны с ригелями и плитами перекрытий стальными соединительными изделиями на сварке.

10.2. В связи с отсутствием связей с помощью соединительных изделий на сварке между диафрагмами и дисками междуэтажных перекрытий при устройстве температурно-усадочных швов необходимо проверить возможность их совместной работы на ветровую нагрузку при расчете по дискретно-континуальной модели. Для этого должно быть обеспечено выполнение условия

$$Q_{эт} \ll F_{тр}, \quad (10.2)$$

где

$Q_{эт}$ - сдвигающее усилие от ветровой нагрузки, приходящееся на рассматриваемую диафрагму в уровне междуэтажного перекрытия;
 $F_{тр}$ - силы трения, возникающие в уровне междуэтажного перекрытия в местах опирания плит и ригелей на конструкции рассматриваемой диафрагмы и определяемые по формуле

$$F_{тр} = \mu N_{эт}^{min}, \quad (10.3)$$

где

μ - коэффициент трения, принимаемый по таблице 17

СНиП II-22-81^{**};

$N_{эт}^{min}$ - минимальная расчетная вертикальная нагрузка от конструкции междуэтажного перекрытия, опирающихся на диафрагму (см. п.2.1 настоящих указаний).

ИНВ. № ПОДАЛ.
ПОДПИСЬ И ДАТА.
ВЗЯТ. ИНВ. №

1.034.1-1/90.0-1-1.10Д
Лист 2

Формат А4

1.034.1-1/90.0-1-1.10Д
Лист 3

24451 35

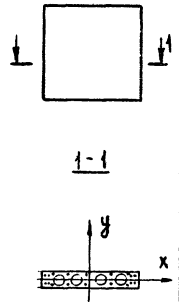
Формат А4

РАЗДЕЛ 2. ТАБЛИЦЫ ЖЕСТКОСТНЫХ ХАРАКТЕРИСТИК СБОРНЫХ ЖЕЛЕЗОБЕТОННЫХ ЭЛЕМЕНТОВ ДИАФРАГМ

Эскиз	ПРОСЕЧЕНИЯ	АРМИРОВАНИЕ СЕЧЕНИЯ	КЛАСС БЕТОНА	МАРКА	ПРИВЕДЕННЫЕ ЖЕСТКОСТИ СЕЧЕНИЯ ПРИ СРЕДНЕЙ ОТНОСИТЕЛЬНОЙ ВЛАЖНОСТИ ВНУТРЕННЕГО ВОЗДУХА											
					НИЖЕ 40%			40% И ВЫШЕ								
					БЕТОН, ПОДВЕРГНУТЫЙ ТЕПЛОЙ ОБРАБОТКЕ ПРИ АТМОСФЕРНОМ ДАВЛЕНИИ			БЕТОН ЕСТЕСТВЕННОГО ТВЕРДЕНИЯ			БЕТОН, ПОДВЕРГНУТЫЙ ТЕПЛОЙ ОБРАБОТКЕ ПРИ АТМОСФЕРНОМ ДАВЛЕНИИ			БЕТОН ЕСТЕСТВЕННОГО ТВЕРДЕНИЯ		
					$R_x^{0,zed}$ $TCM^2 \cdot 10^{-3}$	$R_y^{0,zed}$ $TCM^2 \cdot 10^{-3}$	$A_x^{0,zed}$ $TC \cdot 10^{-5}$	$R_x^{0,zed}$ $TCM^2 \cdot 10^{-3}$	$R_y^{0,zed}$ $TCM^2 \cdot 10^{-3}$	$A_x^{0,zed}$ $TC \cdot 10^{-5}$	$R_x^{0,zed}$ $TCM^2 \cdot 10^{-3}$	$R_y^{0,zed}$ $TCM^2 \cdot 10^{-3}$	$A_x^{0,zed}$ $TC \cdot 10^{-5}$	$R_x^{0,zed}$ $TCM^2 \cdot 10^{-3}$	$R_y^{0,zed}$ $TCM^2 \cdot 10^{-3}$	$A_x^{0,zed}$ $TC \cdot 10^{-5}$
	1-1	24φ8 + 8φ10	B25	ВДП28.26.26; 1ВДП28.26.26; 2ВДП28.26.26;	4,53	448,29	717,13	5,00	495,95	794,95	5,93	588,58	944,43	6,57	652,06	1047,3
	2-2	12φ8 + 8φ10 + 16φ16	B25	ВДП33.26.26; 18ДП33.26.26; 2ВДП33.26.26;	2,86	437,65	368,78	3,09	479,19	401,83	3,53	559,90	466,03	3,84	615,23	510,04

1. В графе „Армирование сечения“ группы разделенные знаком „+“ означают: в сечении 1-1 первая—продольные стержни сеток; вторая—продольные стержни каркасов; в сечении 2-2 первая продольные стержни сеток, вторая—продольные стержни каркасов, третья—отдельные стержни.
2. Арматура: класса А_{III} по ГОСТ 5781-82.

				1.034.1-1/90.0-1-2.1д			
НАЧ.ОТД.	ШАРОВА	<i>Шарова</i>		ПРИВЕДЕННЫЕ ЖЕСТКОСТИ СЕЧЕНИЯ ВЕНТИЛЯЦИОННЫХ БЛОКОВ-ДИАФРАГМ ЖЕСТКОСТИ	СТАДИЯ	ЛИСТ	
Н.КОНТР.	ЖЕРДЕВА	<i>Жердева</i>			Р	1	3
ГЛАВ.ИНЖ.	ПЕТРОВ	<i>Петров</i>			ЦНИИЭП УЧЕБНЫХ ЗДАНИЙ		
ВЕД.ИНЖ.	ЖЕРДЕВА	<i>Жердева</i>					
ТЕХ.КАТ.	ДОПРЯЧЕВА	<i>Допрячева</i>					

Эскиз	ИИ СЕЧЕНИЯ	АРМИРОВАНИЕ СЕЧЕНИЯ	КЛАСС БЕТОНА	МАРКА	ПРИВЕДЕННЫЕ ЖЕСТКОСТИ СЕЧЕНИЯ ПРИ СРЕДНЕЙ ОТНОСИТЕЛЬНОЙ ВЛАЖНОСТИ ВНУТРЕННЕГО ВОЗДУХА											
					НИЖЕ 40%						40% И ВЫШЕ					
					Бетон, подвергнутый тепловой обработке при атмосферном давлении			Бетон естественного твердения			Бетон, подвергнутый тепловой обработке при атмосферном давлении			Бетон естественного твердения		
					$B_{x,red}^{0,red}$ ТсМ ² ·10 ⁻³	$B_{y,red}^{0,red}$ ТсМ ² ·10 ⁻³	$A_{,red}^{0,red}$ Тс·10 ⁻³	$B_{x,red}^{0,red}$ ТсМ ² ·10 ⁻³	$B_{y,red}^{0,red}$ ТсМ ² ·10 ⁻³	$A_{,red}^{0,red}$ Тс·10 ⁻³	$B_{x,red}^{0,red}$ ТсМ ² ·10 ⁻³	$B_{y,red}^{0,red}$ ТсМ ² ·10 ⁻³	$A_{,red}^{0,red}$ Тс·10 ⁻³	$B_{x,red}^{0,red}$ ТсМ ² ·10 ⁻³	$B_{y,red}^{0,red}$ ТсМ ² ·10 ⁻³	$A_{,red}^{0,red}$ Тс·10 ⁻³
	1-1	10 φ8 + 8 φ10	B25	ВД 20.12.26; 1ВД 20.12.26; 2ВД 20.12.26; ВД 28.12.26; 1ВД 28.12.26; 2ВД 28.12.26; ВД 33.12.26; 1ВД 33.12.26; 2ВД 33.12.26; ВД 36.12.26; 1ВД 36.12.26; 2ВД 36.12.26	2,02	40,40	285,02	2,23	44,56	314,98	2,64	52,62	373,20	2,92	58,15	413,41
				ВД 20.15.26; 1ВД 20.15.26; 2ВД 20.15.26 ВД 33.15.26; 1ВД 33.15.26; 2ВД 33.15.26	2,50	72,36	333,22	2,76	79,76	368,23	3,27	87,60	436,25	3,62	97,45	462,88
	1-1	24 φ8 + 8 φ10		ВД 20.26.26; 1ВД 20.26.26; 2ВД 20.26.26; ВД 28.26.26; 1ВД 28.26.26; 2ВД 28.26.26; ВД 33.26.26; 1ВД 33.26.26; 2ВД 33.26.26; ВД 36.26.26; 1ВД 36.26.26; 2ВД 36.26.26	4,27	347,52	653,98	4,72	384,16	612,9	5,59	454,77	727,42	6,20	503,20	805,90
	1-1	28 φ8 + 8 φ10	ВД 20.30.26; 1ВД 20.30.26; 2ВД 20.30.26; ВД 28.30.26; 1ВД 28.30.26; 2ВД 28.30.26; ВД 33.30.26; 1ВД 33.30.26; 2ВД 33.30.26; ВД 36.30.26; 1ВД 36.30.26; 2ВД 36.30.26	4,96	537,90	638,64	5,48	584,36	706,73	6,49	704,05	839,03	7,20	779,24	929,70	

1. В графе „Армирование сечения“ группы разделенные знаком „+“ означают:
 первая - продольные стержни сеток, вторая - продольные стержни каркасов
 2. Арматура: класса А III по ГОСТ 5781-52

1.034.1 - 1/90.0-1-2.1А Лист 2

Эскиз	№ сечения	Армирование сечения	Класс бетона	Матка	Приведенные жесткости сечения при средней относительной влажности внутреннего воздуха											
					ниже 40%						40% и выше					
					Бетон, подвергнутый тепловой обработке при атмосферном давлении			Бетон естественного твердения			Бетон, подвергнутый тепловой обработке при атмосферном давлении			Бетон естественного твердения		
					$B_x, \text{ед}$ $\text{ТСМ}^2 \cdot 10^{-3}$	$B_y, \text{ед}$ $\text{ТСМ}^2 \cdot 10^{-3}$	$A, \text{ед}$ $\text{ТС} \cdot 10^{-3}$	$B_x, \text{ед}$ $\text{ТСМ}^2 \cdot 10^{-3}$	$B_y, \text{ед}$ $\text{ТСМ}^2 \cdot 10^{-3}$	$A, \text{ед}$ $\text{ТС} \cdot 10^{-3}$	$B_x, \text{ед}$ $\text{ТСМ}^2 \cdot 10^{-3}$	$B_y, \text{ед}$ $\text{ТСМ}^2 \cdot 10^{-3}$	$A, \text{ед}$ $\text{ТС} \cdot 10^{-3}$	$B_x, \text{ед}$ $\text{ТСМ}^2 \cdot 10^{-3}$	$B_y, \text{ед}$ $\text{ТСМ}^2 \cdot 10^{-3}$	$A, \text{ед}$ $\text{ТС} \cdot 10^{-3}$
	10φ8 + 8φ10	ВД 20.12.30; 1ВД 20.12.30; 2ВД 20.12.30; ВД 33.12.30; 1ВД 33.12.30; 2ВД 33.12.30	825	ВД 20.12.30; 1ВД 20.12.30; 2ВД 20.12.30; ВД 33.12.30; 1ВД 33.12.30; 2ВД 33.12.30	3,04	40,47	286,47	3,32	44,55	316,26	3,94	52,47	374,73	4,33	57,90	414,80
	12φ8 + 8φ10	ВД 20.15.30; 1ВД 20.15.30; 2ВД 20.15.30; ВД 33.15.30; 1ВД 33.15.30; 2ВД 33.15.30		3,79	79,84	367,24	4,18	88,04	406,25	4,95	103,97	482,09	5,47	114,89	534,08	
	20φ8 + 8φ10	ВД 20.26.30; 1ВД 20.26.30; 2ВД 20.26.30; ВД 33.26.30; 1ВД 33.26.30; 2ВД 33.26.30		6,32	514,40	595,09	6,99	569,54	659,04	8,27	676,69	783,30	9,17	750,13	868,47	
	24φ8 + 8φ10	ВД 20.30.30; 1ВД 20.30.30; 2ВД 20.30.30; ВД 33.30.30; 1ВД 33.30.30; 2ВД 33.30.30		7,30	557,66	672,37	8,08	616,26	744,65	9,57	730,15	885,09	10,60	808,20	984,35	

1.034.1-1,690.0-1-2.44

Лист 3

Эскиз	Армирование сечения	Класс бетона	Марка	Приведенные жесткости сечения при средней относительной влажности внутреннего воздуха											
				ниже 40%					40% и выше						
				Бетон, подвергнутый тепловой обработке при атмосферном давлении			Бетон естественного твердения		Бетон, подвергнутый тепловой обработке при атмосферном давлении			Бетон естественного твердения			
				$R_{ax}^{0,red}$ ТсМ ² ·10 ⁻³	$R_{ay}^{0,red}$ ТсМ ² ·10 ⁻³	$A, T^0 \cdot 10^{-3}$	$R_{ax}^{0,red}$ ТсМ ² ·10 ⁻³	$R_{ay}^{0,red}$ ТсМ ² ·10 ⁻³	$A, T^0 \cdot 10^{-3}$	$R_{ax}^{0,red}$ ТсМ ² ·10 ⁻³	$R_{ay}^{0,red}$ ТсМ ² ·10 ⁻³	$A, T^0 \cdot 10^{-3}$	$R_{ax}^{0,red}$ ТсМ ² ·10 ⁻³	$R_{ay}^{0,red}$ ТсМ ² ·10 ⁻³	$A, T^0 \cdot 10^{-3}$
	1-1	24φ6+4φ6+15φ10	1 ДП 26.33; 2 ДП 26.33	0,77	246,91	453,70	0,85	272,69	500,92	1,00	322,80	592,67	1,10	357,15	655,56
	2-2	24φ6+8φ6+4φ25		0,37	230,89	251,67	0,44	253,14	274,54	0,45	296,38	318,98	0,53	326,02	349,44
	1-1	24φ8+4φ6+3φ8	1 ДП 26.36; 2 ДП 26.36	0,81	255,92	466,98	0,89	281,71	514,20	1,04	331,81	605,95	1,14	336,16	668,83
	2-2	24φ8+8φ6+4φ25		0,39	230,60	260,65	0,43	261,85	283,52	0,47	305,09	327,96	0,55	334,73	358,42
	1-1	24φ10+4φ6+16φ10	1 ДП 26.42; 2 ДП 26.42	0,82	266,77	474,18	0,90	292,53	521,40	1,05	342,67	613,15	1,15	377,01	676,04
	2-2	24φ10+8φ6+4φ25		0,42	250,76	272,15	0,46	273,01	295,02	0,50	316,26	339,47	0,58	345,89	369,93
	1-1	32φ6+4φ6+16φ10	1 ДП 30.33; 2 ДП 30.33	0,89	387,38	526,27	0,99	428,06	581,24	1,16	507,09	688,04	1,28	561,27	761,25
	2-2	32φ6+8φ6+4φ25		0,49	371,37	324,24	0,54	408,51	354,86	0,64	480,68	414,36	0,71	530,14	455,13
	1-1	32φ8+4φ6+3φ8	1 ДП 30.36; 2 ДП 30.36	0,93	402,14	542,54	1,03	442,82	597,51	1,20	521,86	704,31	1,32	576,03	777,51
	2-2	32φ8+8φ6+4φ25		0,52	383,93	336,21	0,57	422,27	366,83	0,67	495,14	426,32	0,74	544,59	467,10

Имя, фамилия, инициалы, дата, подпись, инв. №

4. В графе „Армирование сечения“ группы разделенные знаком „+“ означают: в сечении 1-1 первая-продольные стержни сеток, вторая-продольные стержни каркасов, третья-продольные стержни сеток; в сечении 2-2 первая-продольные стержни сеток, вторая-продольные стержни каркасов, третья-отдельные стержни.
2. Арматура: класса АШ по ГОСТ 5781-82*

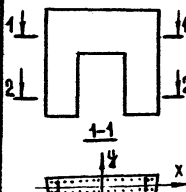
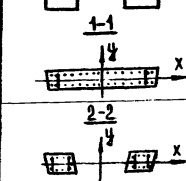
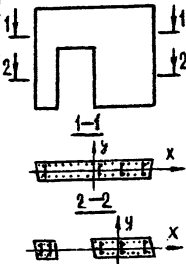
Имя, фамилия, инициалы	Подпись
Инженер Жердева	<i>Жердева</i>
Инженер Петрова	<i>Петрова</i>
Инженер Жердева	<i>Жердева</i>
Инженер Оганесова	<i>Оганесова</i>
Техник Дмитриева	<i>Дмитриева</i>

1.034.1-1/90.0-1-2.2.2.2

Приведенные жесткости сечения диафрагм жесткости

Имя, фамилия, инициалы	Подпись
Инженер	<i>Эп</i>

Учебно-исследовательский институт

Эскиз	ИИ СЕЧЕНИЯ	АРМИРОВАННЕ СЕЧЕНИЯ	КЛАСС БЕТОНА	МАРКА	ПРИБЕДЕННЫЕ ЖЕСТКОСТИ СЕЧЕНИЯ ПРИ СРЕДНЕЙ ОТНОСИТЕЛЬНОЙ ВЛАЖНОСТИ ВНУТРЕННЕГО ВОЗДУХА											
					НИЖЕ 40%			40% И ВЫШЕ								
					БЕТОН, ПОДВЕРГНУТЫЙ ТЕПЛОВОЙ ОБРАБОТКЕ ПРИ АТМОСФЕРНОМ ДАВЛЕНИИ			БЕТОН ЕСТЕСТВЕННОГО ТВЕРДЕНИЯ			БЕТОН, ПОДВЕРГНУТЫЙ ТЕПЛОВОЙ ОБРАБОТКЕ ПРИ АТМОСФЕРНОМ ДАВЛЕНИИ			БЕТОН ЕСТЕСТВЕННОГО ТВЕРДЕНИЯ		
					$B_x, \frac{0,2ed}{TCM^2 \cdot 10^{-3}}$	$B_y, \frac{0,2ed}{TCM^2 \cdot 10^{-3}}$	$A, \frac{0,2ed}{TC \cdot 10^{-3}}$	$B_x, \frac{0,2ed}{TCM^2 \cdot 10^{-3}}$	$B_y, \frac{0,2ed}{TCM^2 \cdot 10^{-3}}$	$A, \frac{0,2ed}{TC \cdot 10^{-3}}$	$B_x, \frac{0,2ed}{TCM^2 \cdot 10^{-3}}$	$B_y, \frac{0,2ed}{TCM^2 \cdot 10^{-3}}$	$A, \frac{0,2ed}{TC \cdot 10^{-3}}$	$B_x, \frac{0,2ed}{TCM^2 \cdot 10^{-3}}$	$B_y, \frac{0,2ed}{TCM^2 \cdot 10^{-3}}$	$A, \frac{0,2ed}{TC \cdot 10^{-3}}$
	1-1	32φ10+4φ6+16φ10	1 ДП 30.42; 2 ДП 30.42	0,96	420,37	553,38	1,05	464,05	674,53	1,23	540,09	715,35	1,35	594,26	788,55	
	2-2	32φ10+8φ6+4φ25		0,56	404,36	351,55	0,61	441,50	382,17	0,71	518,67	441,66	0,77	563,13	482,44	
	1-1	44φ6+8φ6+16φ10	1 ДП 56.33; 2 ДП 56.33	1,61	2438,23	956,12	1,77	2702,42	1058,68	2,10	3215,77	1257,95	2,32	3567,61	1394,53	
	2-2	44φ6+12φ6+4φ25		1,20	2422,22	754,09	1,33	2682,87	832,29	1,58	3189,35	923,94	1,75	3536,49	1035,26	
	1-1	48φ6+8φ6+16φ10	1 ДПК 56.33Л 2 ДПК 56.33; 1 ДПК 56.33П	1,61	2497,61	958,05	1,78	2761,80	1060,60	2,10	3275,15	1259,87	2,33	3626,99	1396,45	
	2-2	48φ6+12φ6+4φ25		1,21	1919,28	834,22	1,34	2108,10	756,01	1,59	2474,99	986,19	1,76	2726,46	1090,34	

Эскиз	Н И С Е Ч Е Н И Я	А Р М И Р О В А Н И Е С Е Ч Е Н И Я	К Л А С С Б Е Т О Н А	М А Р К А	П Р И В Е Д Е Н Н Ы Е Ж Е С Т К О С Т И С Е Ч Е Н И Я П Р И С Р Е Д Н Е Й О Т Н О С И Т Е Л Ь Н О Й В Л А Ж Н О С Т И В Н У Т Р Е Н Н Е Г О В О З Д У Х А											
					Н И Ж Е 40%						40% И В Ы Ш Е					
					Б Е Т О Н , П О Д В Е Р Г Н У Т Ы Й Т Е П Л О Й О Б Р А Б О Т К Е П Р И А Т М О С Ф Е Р Н О М Д А В Л Е Н И И			Б Е Т О Н Е С Т Е С Т В Е Н - Н О Г О Т В Е Р Д Е Н И Я			Б Е Т О Н , П О Д В Е Р Г Н У Т Ы Й Т Е П Л О Й О Б Р А Б О Т К Е П Р И А Т М О С Ф Е Р Н О М Д А В Л Е Н И И			Б Е Т О Н Е С Т Е С Т В Е Н - Н О Г О Т В Е Р Д Е Н И Я		
					$B_x, \frac{0,2ed}{TCM^2 \cdot 10^{-3}}$	$B_y, \frac{0,2ed}{TCM^2 \cdot 10^{-3}}$	$A, \frac{0,2ed}{TC \cdot 10^{-3}}$	$B_x, \frac{0,2ed}{TCM^2 \cdot 10^{-3}}$	$B_y, \frac{0,2ed}{TCM^2 \cdot 10^{-3}}$	$A, \frac{0,2ed}{TC \cdot 10^{-3}}$	$B_x, \frac{0,2ed}{TCM^2 \cdot 10^{-3}}$	$B_y, \frac{0,2ed}{TCM^2 \cdot 10^{-3}}$	$A, \frac{0,2ed}{TC \cdot 10^{-3}}$	$B_x, \frac{0,2ed}{TCM^2 \cdot 10^{-3}}$	$B_y, \frac{0,2ed}{TCM^2 \cdot 10^{-3}}$	$A, \frac{0,2ed}{TC \cdot 10^{-3}}$
		12φ6+4φ6	В25	1Д 12.20; 2Д 12.20; 1Д 12.33; 2Д 12.33	0,34	23,45	200,78	0,37	25,97	222,54	0,44	30,88	264,83	0,49	34,25	293,82
		12φ8+4φ6		1Д 12.36; 2Д 12.36;	0,35	23,97	205,26	0,38	26,50	227,50	0,45	31,41	269,32	0,499	34,77	298,31
		12φ10+4φ6		1Д 12.42; 2Д 12.42	0,36	24,64	211,02	0,40	27,17	232,78	0,47	32,08	275,07	0,512	35,44	304,06
		15φ10+4φ6		1Д 15.42; 2Д 15.42	0,45	49,36	265,44	0,50	54,34	292,74	0,59	64,02	345,78	0,617	70,66	382,14
		24φ8+6φ6		1Д 24.36; 2Д 24.36;	0,70	195,69	412,84	0,77	216,41	456,74	0,91	256,67	542,03	1,003	284,27	600,50
		24φ10+6φ6		1Д 24.42; 2Д 24.42;	0,72	201,18	424,34	0,80	221,89	468,24	0,93	262,16	553,54	1,029	289,75	612,00
	24φ12+6φ6	1Д 24.48; 2Д 24.48	0,76	207,89	438,46	0,83	228,62	482,30	0,97	268,89	567,66	1,06	296,48	626,12		

1. В графе „Армирование сечения“ группы разделенные знаком „+“ означают:
 первая – продольные стержни сеток, вторая – продольные стержни каркасов.
 2. Арматура: класса А III по ГОСТ 5781-82”

1.034. 1-1/90.0-1-2.2.Д Лист 3

ПРИВЕДЕННЫЕ ЖЕСТКОСТИ СЕЧЕНИЯ ПРИ СРЕДНЕЙ ОТНОСИТЕЛЬНОЙ ВЛАЖНОСТИ ВНУТРЕННЕГО ВОЗДУХА

Эскиз	МН СЕЧЕНИЯ	АРМИРОВАНИЕ СЕЧЕНИЯ	КЛАСС БЕТОНА	МАРКА	НИЖЕ 40%									40% И ВЫШЕ										
					БЕТОН, ПОДВЕРГНУТЫЙ ТЕПЛООВОЙ ОБРАБОТКЕ ПРИ АТМОСФЕРНОМ ДАВЛЕНИИ						БЕТОН ЕСТЕСТВЕННОГО ТВЕРДЕНИЯ			БЕТОН, ПОДВЕРГНУТЫЙ ТЕПЛООВОЙ ОБРАБОТКЕ ПРИ АТМОСФЕРНОМ ДАВЛЕНИИ			БЕТОН ЕСТЕСТВЕННОГО ТВЕРДЕНИЯ							
					$B_{x, \text{ред}} \cdot 10^{-3}$		$B_{y, \text{ред}} \cdot 10^{-3}$		$A, \cdot 10^{-3}$	$B_{x, \text{ред}} \cdot 10^{-3}$		$B_{y, \text{ред}} \cdot 10^{-3}$		$A, \cdot 10^{-3}$	$B_{x, \text{ред}} \cdot 10^{-3}$		$B_{y, \text{ред}} \cdot 10^{-3}$		$A, \cdot 10^{-3}$	$B_{x, \text{ред}} \cdot 10^{-3}$		$B_{y, \text{ред}} \cdot 10^{-3}$		$A, \cdot 10^{-3}$
					TCM ² · 10 ⁻³		TCM ² · 10 ⁻³		TC · 10 ⁻³	TCM ² · 10 ⁻³		TCM ² · 10 ⁻³		TC · 10 ⁻³	TCM ² · 10 ⁻³		TCM ² · 10 ⁻³		TC · 10 ⁻³	TCM ² · 10 ⁻³		TCM ² · 10 ⁻³		TC · 10 ⁻³
		26φ6+6φ6	B25	1Д 26.20; 2Д 26.20; 1Д 26.33; 2Д 26.33	0,73	238,28	434,28	0,80	264,01	481,49	0,95	314,12	573,24	1,06	304,66	636,13								
		26φ8+6φ6		1Д 26.36; 2Д 26.36	0,75	243,67	443,99	0,83	269,46	491,23	0,97	319,57	582,97	1,08	353,90	645,85								
		26φ10+6φ6		1Д 26.42; 2Д 26.42	0,78	250,65	456,46	0,86	276,44	503,68	1,01	326,55	595,43	1,11	360,89	658,32								
		30φ6+6φ6		1Д 30.20; 1Д 30.33; 2Д 30.33	0,63	376,07	504,92	0,93	416,75	559,89	1,11	494,79	666,69	1,23	548,96	739,89								
	1-1	30φ8+6φ6		1Д 30.36; 2Д 30.36	0,87	383,45	516,14	0,96	424,13	571,11	1,13	503,17	677,91	1,25	557,34	751,11								
		30φ10+6φ6		1Д 30.42; 2Д 30.42	0,90	394,19	530,52	0,99	434,87	585,49	1,17	513,9	692,29	1,29	568,08	765,49								
		30φ14+6φ6		1Д 30.48; 2Д 30.48	0,94	407,37	548,17	1,03	448,04	603,44	1,21	527,08	709,94	1,33	581,25	783,44								
	56φ6+10φ6	1Д 56.20; 2Д 56.20; 1Д 56.33; 2Д 56.33.	1,57	2430,61	941,51	1,73	2694,80	1044,06	2,05	3208,15	1243,33	2,28	3559,99	1379,91										

1.034. 1-1/90. 0-1-2.2А

Лист 4

ИЗВ. И ПОДЛ. ПОДАТЬ В АРХИВ. ВЗАМ. ЧЕРТ. И

КОПИЯ ВЕРНА

Эскиз	НИ СЕЧЕНИЯ	АРМИРОВАНИЕ СЕЧЕНИЯ	МАРКА БЕТОНА	МАРКА	ПРИВЕДЕННЫЕ ЖЕСТКОСТИ СЕЧЕНИЯ ПРИ СРЕДНЕЙ ОТНОСИТЕЛЬНОЙ ВЛАЖНОСТИ ВНУТРЕННЕГО ВОЗДУХА											
					НИЖЕ 40%				40% И ВЫШЕ							
					БЕТОН, ПОДВЕРГНУТЫЙ ТЕПЛООВОЙ ОБРАБОТКЕ ПРИ АТМОСФЕРНОМ ДАВЛЕНИИ			БЕТОН ЕСТЕСТВЕННОГО ТВЕРДЕНИЯ		БЕТОН, ПОДВЕРГНУТЫЙ ТЕПЛООВОЙ ОБРАБОТКЕ ПРИ АТМОСФЕРНОМ ДАВЛЕНИИ			БЕТОН ЕСТЕСТВЕННОГО ТВЕРДЕНИЯ			
					$B_x, \frac{0,72d}{\text{ТСМ}^2 \cdot 10^{-3}}$	$B_y, \frac{0,72d}{\text{ТСМ}^2 \cdot 10^{-3}}$	$A, \frac{0,72d}{\text{ТС} \cdot 10^{-3}}$	$B_x, \frac{0,72d}{\text{ТСМ}^2 \cdot 10^{-3}}$	$B_y, \frac{0,72d}{\text{ТСМ}^2 \cdot 10^{-3}}$	$A, \frac{0,72d}{\text{ТС} \cdot 10^{-3}}$	$B_x, \frac{0,72d}{\text{ТСМ}^2 \cdot 10^{-3}}$	$B_y, \frac{0,72d}{\text{ТСМ}^2 \cdot 10^{-3}}$	$A, \frac{0,72d}{\text{ТС} \cdot 10^{-3}}$	$B_x, \frac{0,72d}{\text{ТСМ}^2 \cdot 10^{-3}}$	$B_y, \frac{0,72d}{\text{ТСМ}^2 \cdot 10^{-3}}$	$A, \frac{0,72d}{\text{ТС} \cdot 10^{-3}}$
	1-1	4 ∅ 16	М300	2 К 3.28-1; 2 КО 3.28-2.1; 1КВ 3.28-1 1КВО 3.28-2.1; 1КВА 3.28-2.1 1 К 3.33; 1 КО 3.33; 1КА 3.33 2 К 3.33-1; 2 КО 3.33-2.1; 2КА 3.33-1.1; 1КВ 3.33-1; 1КВО 3.33-2.1 1КВА 3.33-2.1 1 К 3.36-1; 1 КО 3.36; 1КА 3.36-1 2 К 3.36-1 2 КО 3.36-2.1 1 К 3.42; 1 КО 3.42; 1КА 3.42 2 К 3.42-1 2 КО 3.42-2.1	0,94	0,94	118,86	1,08	1,03	130,72	1,20	1,20	153,76	1,34	1,34	169,55
				2КА 3.28-2.2 3 К 3.28-1; 3 КО 3.28-2.1; 3 К 3.28(20)-1; 3 КО 3.28(20)-2.1 3 К 3.28(33)-1 3 КО 3.28(33)-2.1	0,99	0,99	126,89	1,10	1,10	140,28	1,28	1,28	163,95	1,42	1,42	182,27

АРМАТУРА: КЛАССА АIII ПО ГОСТ 5781-82*

И.И.О.Т.А.	ИШАХОВА	<i>Ишахова</i>
И.К.О.Т.Р.	ЖЕДАЕВА	<i>Жедаева</i>
И.И.И.О.Т.А.	ПЕТРОВ	<i>Петров</i>
И.В.А.И.Ж.	ЖЕДАЕВА	<i>Жедаева</i>
И.И.И.Ж.К.А.Т.	ДЕСЯТОВА	<i>Десятова</i>
Т.Е.Х.И.К.А.Т.	ДОМОДЧЕВА	<i>Домодчева</i>
Ч.Е.Р.Т.Е.И.И.Ж.	ТРАЧЕВА	<i>Трачева</i>

1.034.1-1/90.0-1-2.3.А

ПРИВЕДЕННЫЕ ЖЕСТКОСТИ СЕЧЕНИЯ КОЛОНН 30x30	СТАДИЯ	ИЛЮСТ	ЛИСТОВ
	Р	1	7
		ЦНИИЭП	
		УЧЕБНЫХ ЗАДАНИЙ	

ПРИВЕДЕННЫЕ ЖЕСТКОСТИ СЕЧЕНИЯ ПРИ СРЕДНЕЙ
ОТНОСИТЕЛЬНОЙ ВЛАЖНОСТИ ВНУТРЕННЕГО ВОЗДУХА

Эскиз	ИЗМЕНЕНИЕ СЕЧЕНИЯ	АРМИРОВАНИЕ СЕЧЕНИЯ	МАРКА БЕТОНА	МАРКА	ПРИВЕДЕННЫЕ ЖЕСТКОСТИ СЕЧЕНИЯ ПРИ СРЕДНЕЙ ОТНОСИТЕЛЬНОЙ ВЛАЖНОСТИ ВНУТРЕННЕГО ВОЗДУХА											
					БЕТОН, ПОДВЕРГНУТЫЙ ТЕПЛОВОЙ ОБРАБОТКЕ ПРИ АТМОСФЕРНОМ ДАВЛЕНИИ			БЕТОН ЕСТЕСТВЕННОГО ТВЕРДЕЮЩА			БЕТОН, ПОДВЕРГНУТЫЙ ТЕПЛОВОЙ ОБРАБОТКЕ ПРИ АТМОСФЕРНОМ ДАВЛЕНИИ			БЕТОН ЕСТЕСТВЕННОГО ТВЕРДЕЮЩА		
					$B_x^{0, \text{тед}}$ $\text{ТСМ}^2 \cdot 10^{-3}$	$B_y^{0, \text{тед}}$ $\text{ТСМ}^2 \cdot 10^{-3}$	$A^{0, \text{тед}}$ $\text{ТС} \cdot 10^{-3}$	$B_x^{0, \text{тед}}$ $\text{ТСМ}^2 \cdot 10^{-3}$	$B_y^{0, \text{тед}}$ $\text{ТСМ}^2 \cdot 10^{-3}$	$A^{0, \text{тед}}$ $\text{ТС} \cdot 10^{-3}$	$B_x^{0, \text{тед}}$ $\text{ТСМ}^2 \cdot 10^{-3}$	$B_y^{0, \text{тед}}$ $\text{ТСМ}^2 \cdot 10^{-3}$	$A^{0, \text{тед}}$ $\text{ТС} \cdot 10^{-3}$	$B_x^{0, \text{тед}}$ $\text{ТСМ}^2 \cdot 10^{-3}$	$B_y^{0, \text{тед}}$ $\text{ТСМ}^2 \cdot 10^{-3}$	$A^{0, \text{тед}}$ $\text{ТС} \cdot 10^{-3}$
	1-1	4 φ 16	M400	2 КД 3.33-23 3 К 3.33-2; 3 КО 3.33-2; 3 К 3.33(20)-2; 3 КО 3.33(20)-2; 2 КД 3.36-24 2 КД 3.42-24	0,99	0,99	126,89	1,10	1,10	140,28	1,28	1,28	163,95	1,42	1,42	182,27
				4 К 3.(28)33-2; 4 КО 3.(28)33-12; 3 КД 3.33-14; 3 КО 3.33(20)-14; 4 КО 3.33-12 4 К 3.33(20)-2; 4 КО 3.33(20)-12; 4 К 3.33(42.32)-2 3 К 3.36-2; 3 КО 3.36-2.2; 3 К 3.42(20)-2 3 КО 3.42(20)-2.2	1,10	1,10	140,66	1,20	1,20	154,05	1,42	1,42	182,79	1,55	1,55	200,63
				4 КО 3.(28)33-12 1 КВ 3.28-2; 1 КВО 3.28-2.2; 1 КВА 3.28-2.2 2 К 3.33-2; 2 КО 3.33-1.2; 2 КД 3.33-1.2 3 К 3.33-1; 3 КО 3.33-1.1; 3 К 3.33(20); 3 КО 3.33(20)-1.1; 4 К 3.33-2; 4 КО 3.33(42.32)-1.2; 1 КВ 3.33-2 1 КВО 3.33-2.2; 1 КВА 3.33-2.2 2 К 3.36-2; 2 КО 3.36-2.2; 2 К 3.42-2; 2 КО 3.42-2.2	1,02	1,02	126,55	1,11	1,11	138,41	1,28	1,28	161,45	1,40	1,40	177,24

1.034.1-1/90.0-1-2.3 д

ЛИСТ

2

Эскиз	НН СЕЧЕНИЯ	АРМИРОВАНИЕ СЕЧЕНИЯ	МАРКА БЕТОНА	МАРКА	ПРИВЕДЕННЫЕ ЖЕСТКОСТИ СЕЧЕНИЯ ПРИ СРЕДНЕЙ ОТНОСИТЕЛЬНОЙ ВЛАЖНОСТИ ВНУТРЕННЕГО ВОЗДУХА											
					НИЖЕ 40%			40% И ВЫШЕ			БЕТОН, ПОДВЕРГНУТЫЙ ТЕПЛОВОЙ ОБРАБОТКЕ ПРИ АТМОСФЕРНОМ ДАВЛЕНИИ			БЕТОН ЕСТЕСТВЕННОГО ТВЕРДЕНИЯ		
					БЕТОН, ПОДВЕРГНУТЫЙ ТЕПЛОВОЙ ОБРАБОТКЕ ПРИ АТМОСФЕРНОМ ДАВЛЕНИИ			БЕТОН ЕСТЕСТВЕННОГО ТВЕРДЕНИЯ			БЕТОН, ПОДВЕРГНУТЫЙ ТЕПЛОВОЙ ОБРАБОТКЕ ПРИ АТМОСФЕРНОМ ДАВЛЕНИИ			БЕТОН ЕСТЕСТВЕННОГО ТВЕРДЕНИЯ		
					$B_{x, \text{тепл}}$ $\text{ТСМ}^2 \cdot 10^{-3}$	$B_{y, \text{тепл}}$ $\text{ТСМ}^2 \cdot 10^{-3}$	$A, \text{тепл}$ $\text{ТС} \cdot 10^{-3}$	$B_{x, \text{ест}}$ $\text{ТСМ}^2 \cdot 10^{-3}$	$B_{y, \text{ест}}$ $\text{ТСМ}^2 \cdot 10^{-3}$	$A, \text{ест}$ $\text{ТС} \cdot 10^{-3}$	$B_{x, \text{тепл}}$ $\text{ТСМ}^2 \cdot 10^{-3}$	$B_{y, \text{тепл}}$ $\text{ТСМ}^2 \cdot 10^{-3}$	$A, \text{тепл}$ $\text{ТС} \cdot 10^{-3}$	$B_{x, \text{ест}}$ $\text{ТСМ}^2 \cdot 10^{-3}$	$B_{y, \text{ест}}$ $\text{ТСМ}^2 \cdot 10^{-3}$	$A, \text{ест}$ $\text{ТС} \cdot 10^{-3}$
	1-1	4 φ 20	М400	2 К 3.28-3; 2 КО 3.28-2.3; 4 К 3.28(33)-1; 4 КО 3.28(33)-1.1; 2 К 3.33-4; 2 КО 3.33-2.4; 3 КД 3.33-1.3; 3 КО 3.33(20)-1.3; 4 К 3.33-1; 4 КО 3.33-1.1; 4 К 3.33(20)-1; 4 КО 3.33(20)-1.1; 4 К 3.33(42.32)-1; 4 КО 3.33(42.32)-1.1 2 КД 3.36-2.3 3 К 3.36-1; 3 КО 3.36-2.1; 2 КД 3.42-2.3, 3 К 3.42(20)-1; 3 КО 3.42(20)-2.1	1,08	1,08	134,59	1,19	1,19	147,98	1,36	1,36	171,64	1,50	1,50	189,98
				2 КД 3.28-2.4 3 К 3.28-3; 3 КО 3.28-2.3; 3 КД 3.28-2.3 3 К 3.28(20)-3; 3 КО 3.28(20)-2.3 3 КД 3.28(20)-2.3; 3 К 3.28(33)-3; 3 КО 3.28(33)-2.3 3 КД 3.28(33)-2.3, 4 К 3.28-2; 4 КО 3.28-2.2	1,18	1,18	148,36	1,29	1,29	161,74	1,50	1,50	190,49	1,64	1,64	208,32

ЧЕРТЕЖ ПОДГОТОВЛЕН И ЗАДАТ ПОСЛЕДНИМ

Эскиз	ИЗ СЕЧЕНИЯ	АРМИРОВАНИЕ СЕЧЕНИЯ	МАРКА БЕТОНА	ПРИВЕДЕННЫЕ ЖЕСТКОСТИ СЕЧЕНИЯ ПРИ СРЕДНЕЙ ОТНОСИТЕЛЬНОЙ ВЛАЖНОСТИ ВНУТРЕННЕГО ВОЗДУХА												
				НИЖЕ 40%			40% И ВЫШЕ									
				БЕТОН, ПОДВЕРГНУТЫЙ ТЕПЛОЙ ОБРАБОТКЕ ПРИ АТМОСФЕРНОМ ДАВЛЕНИИ			БЕТОН ЕСТЕСТВЕННОГО ТВЕРДЕНИЯ			БЕТОН, ПОДВЕРГНУТЫЙ ТЕПЛОЙ ОБРАБОТКЕ ПРИ АТМОСФЕРНОМ ДАВЛЕНИИ			БЕТОН ЕСТЕСТВЕННОГО ТВЕРДЕНИЯ			
				$B_{x, \text{тзд}}$ ТсМ ² ·10 ⁻³	$B_{y, \text{тзд}}$ ТсМ ² ·10 ⁻³	$A, \text{тзд}$ Тс·10 ⁻³	$B_{x, \text{тзд}}$ ТсМ ² ·10 ⁻³	$B_{y, \text{тзд}}$ ТсМ ² ·10 ⁻³	$A, \text{тзд}$ Тс·10 ⁻³	$B_{x, \text{тзд}}$ ТсМ ² ·10 ⁻³	$B_{y, \text{тзд}}$ ТсМ ² ·10 ⁻³	$A, \text{тзд}$ Тс·10 ⁻³	$B_{x, \text{тзд}}$ ТсМ ² ·10 ⁻³	$B_{y, \text{тзд}}$ ТсМ ² ·10 ⁻³	$A, \text{тзд}$ Тс·10 ⁻³	
	1-1	4φ20	М500	4 К 3.28(20)-2; 4 КД 3.28(20)-22;	1,18	1,18	142,36	1,29	1,29	161,74	1,50	1,50	190,49	1,64	1,64	208,32
				4 К 3.28(33)-3; 4 КД 3.28(33)-22;												
				4 К 3.(28)33-5; 4 КД-3.28(33)-25;												
				4 К 3.28(33.20)-3; 4 КД 3.28(33.20)22												
				2КД 3.33-2.5												
				3 К 3.33-6; 3 КД 3.33(20)-2.6;												
				3 КД 3.33-2.6												
				3 К 3.33(20)-6; 3 КД 3.33(20)-2.6;												
				3 КД 3.33(20)-2.6												
				4 К 3.33-5; 4 КД 3.33-2.5;												
4 К 3.33(20)-5; 4 КД 3.33(20)-2.5;																
4 К 3.33(42.32)-5; 4 КД 3.33(42.32)-2.5																
4 КН 3.33-4; 4 КНД 3.33-1.4;																
4 КН 3.33(20)-5; 4 КНД 3.33(20)-1.5;																
4 КН 3.33(42.32) 4; 4 КНД 3.33(42.32)-4																

1.034.1-1/90.0-(1-2.3А) ЛИСТ 4

Э С К И З	И Н С Е Ч Е Н И Я	А Р М И Р О В А Н И Е С Е Ч Е Н И Я	М А Р К А Б Е Т О Н А	М А Р К А	П Р И В Е Д Е Н Н Ы Е Ж Е С Т К О С Т И С Е Ч Е Н И Я П Р И С Р Е Д Н Е Й О Т Н О С И Т Е Л Ь Н О Й В Л А Ж Н О С Т И В Н У Т Р Е Н Н Е Г О В О З Д У Х А												
					Н И Ж Е 4 0 %						4 0 % И В Ы Ш Е						
					Б Е Т О Н , П О Д В Е Р Г Н У Т Ы Й Т Е П Л О В О Й О Б Р А Б О Т К Е П Р И А Т М О С Ф Е Р Н О М Д А В Л Е Н И И			Б Е Т О Н Е С Т Е С Т В Е Н Н О Г О Т В Е Р Д Е Н И Я			Б Е Т О Н , П О Д В Е Р Г Н У Т Ы Й Т Е П Л О В О Й О Б Р А Б О Т К Е П Р И А Т М О С Ф Е Р Н О М Д А В Л Е Н И И			Б Е Т О Н Е С Т Е С Т В Е Н Н О Г О Т В Е Р Д Е Н И Я			
					$R_{к, \text{ред}}$ $\text{ТсМ}^2 \cdot 10^{-3}$	$R_{ч, \text{ред}}$ $\text{ТсМ}^2 \cdot 10^{-3}$	$A, \text{ред}$ $\text{Тс} \cdot 10^{-3}$	$R_{к, \text{ред}}$ $\text{ТсМ}^2 \cdot 10^{-3}$	$R_{ч, \text{ред}}$ $\text{ТсМ}^2 \cdot 10^{-3}$	$A, \text{ред}$ $\text{Тс} \cdot 10^{-3}$	$R_{к, \text{ред}}$ $\text{ТсМ}^2 \cdot 10^{-3}$	$R_{ч, \text{ред}}$ $\text{ТсМ}^2 \cdot 10^{-3}$	$A, \text{ред}$ $\text{Тс} \cdot 10^{-3}$	$R_{к, \text{ред}}$ $\text{ТсМ}^2 \cdot 10^{-3}$	$R_{ч, \text{ред}}$ $\text{ТсМ}^2 \cdot 10^{-3}$	$A, \text{ред}$ $\text{Тс} \cdot 10^{-3}$	
	1-1	4 ϕ 16	МС00	4 КД З. (28)33-1.3 4 КД З. 33-1.3; 4 КД З. 33(20)-1.3; 4 КД З. 33(42.32)-1.3	1,10	1,10	140,66	1,20	1,20	154,05	1,42	1,42	182,79	1,55	1,55	200,63	
	2-2	4 ϕ 16 + 4 ϕ 16		4 КМ З. 33-1; 4 КМД З. 33-1.1; 4 КМ З. 33(20)-1; 4 КМД З. 33(20)-1.1; 4 КМ З. 33(42.32)-1; 4 КМД З. 33(42.32)-1.1	1,25	1,12	154,34	1,35	1,22	167,73	1,57	1,44	169,47	1,70	1,57	214,29	
	1-1	4 ϕ 16		3 КД З. 28-2.2; 3 КД З. 28(20)-2.2, 3 КД З. 28(33)-2.2 4 К З. 28-1; 4 КД З. 28-2.1, 4 К З. 28(20)-1; 4 КД З. 28(20)-2.1; 4 К З. 28(33)-1; 4 КД З. 28(33)-2.1, 4 К З. 28(33.20)-1; 4 КД З. 28(33.20)-2.1	1,10	1,10	140,66	1,20	1,20	154,05	1,42	1,42	182,79	1,55	1,55	200,63	
	2-2	4 ϕ 16 + 4 ϕ 20		4 К З. (28)33-4; 4 КД З. (28)33-2.4; 3 КД З. 33-2.5; 3 КД З. 33(20)-2.5; 4 К З. 33-4; 3 КД З. 33-2.4; 4 К З. 33(20)-4; 4 КД З. 33(20)-2.4; 4 К З. 33(42.32)-4; 4 КД З. 33(42.32)-2.4; 3 КД З. 36-2.3, 3 КД З. 42(20)-2.3	1,34	1,13	162,03	1,44	1,23	175,42	1,65	1,45	204,16	1,79	1,58	221,99	

1.034.1-1/90.0-1-2.3Д

Эскиз	ИНСЕРЦИЯ	АРМИРОВАНИЕ СЕЧЕНИЯ	МАРКА БЕТОНА	ПРИВЕДЕННЫЕ ЖЕСТКОСТИ СЕЧЕНИЯ ПРИ СРЕДНЕЙ ОТНОСИТЕЛЬНОЙ ВЛАЖНОСТИ ВНУТРЕННЕГО ВОЗДУХА												
				НИЖЕ 40%					40% И ВЫШЕ							
				БЕТОН ПОДВЕРГНУТЫЙ ТЕПЛОЙ ОБРАБОТКЕ ПРИ АТМОСФЕРНОМ ДАВЛЕНИИ			БЕТОН ЕСТЕСТВЕННОГО ТВЕРДЕНИЯ		БЕТОН, ПОДВЕРГНУТЫЙ ТЕПЛОЙ ОБРАБОТКЕ ПРИ АТМОСФЕРНОМ ДАВЛЕНИИ			БЕТОН ЕСТЕСТВЕННОГО ТВЕРДЕНИЯ				
				$B_{x, \text{теп}} \cdot 10^{-3}$	$B_{y, \text{теп}} \cdot 10^{-3}$	$A, \text{теп} \cdot 10^{-3}$	$B_{x, \text{ест}} \cdot 10^{-3}$	$B_{y, \text{ест}} \cdot 10^{-3}$	$A, \text{ест} \cdot 10^{-3}$	$B_{x, \text{теп}} \cdot 10^{-3}$	$B_{y, \text{теп}} \cdot 10^{-3}$	$A, \text{теп} \cdot 10^{-3}$	$B_{x, \text{ест}} \cdot 10^{-3}$	$B_{y, \text{ест}} \cdot 10^{-3}$	$A, \text{ест} \cdot 10^{-3}$	
	1-1	4 ϕ 20	М 1500	4 КД 3. (28) 33-1.6;	1,18	1,18	148,36	1,29	1,29	161,74	1,50	1,50	161,45	1,64	1,64	190,49
	2-2	4 ϕ 20 + 4 ϕ 16		4 КД 3. 33-1.6; 4 КД 3. 33(20)-1.6; 4 КД 3. 33(42-32)-1.6												
	1-1	4 ϕ 20		4 КМД 3. 28(20)-2; 4 КМД 3. 28(20)-2.2;	1,18	1,18	148,36	1,29	1,29	161,74	1,50	1,50	161,45	1,64	1,64	190,49
	2-2	4 ϕ 20 + 4 ϕ 20		4 КМД 3. 28(33,20)-2; 4 КМД 3. 28(33,20)-2.2; 4 КМ 3. 33-5; 4 КМД 3. 33-2.5; 4 КМ 3. 33(20)-6; 4 КМД 3. 33(20)-2.6; 4 КМ 3. 33(42,32)-5; 4 КМД 3. 33(42,32)-2.5												
	1-1	4 ϕ 20		4 КД 3. 28-2.3; 4 КД 3. 28(20)-2.3;	1,18	1,18	148,36	1,29	1,29	161,74	1,50	1,50	161,45	1,64	1,64	190,49
	2-2	4 ϕ 20 + 4 ϕ 28		4-КД 3. 28(33)-2.3; 4 КД 3. 28(33)-2.7 4 КД 3. 28(33,20)-2.3; 4 КД 3. 33-2.7; 4 КД 3. 33(20)-2.7; 4 КД 3. 33(42,33)-2.7												

1.034. 1-1/90. 0-1-2.3.0

Лист
6

